

# シミュレーション科学入門 (計算科学入門) Computational Science

## 1. 導入 (Introduction)

シミュレーションとは何か？

「現実世界の森羅万象を情報として造ること」

## 2. シミュレーション科学とは？

## 3. シミュレーション科学により発見された概念

# シミュレーションとは何か？（その理解のために）

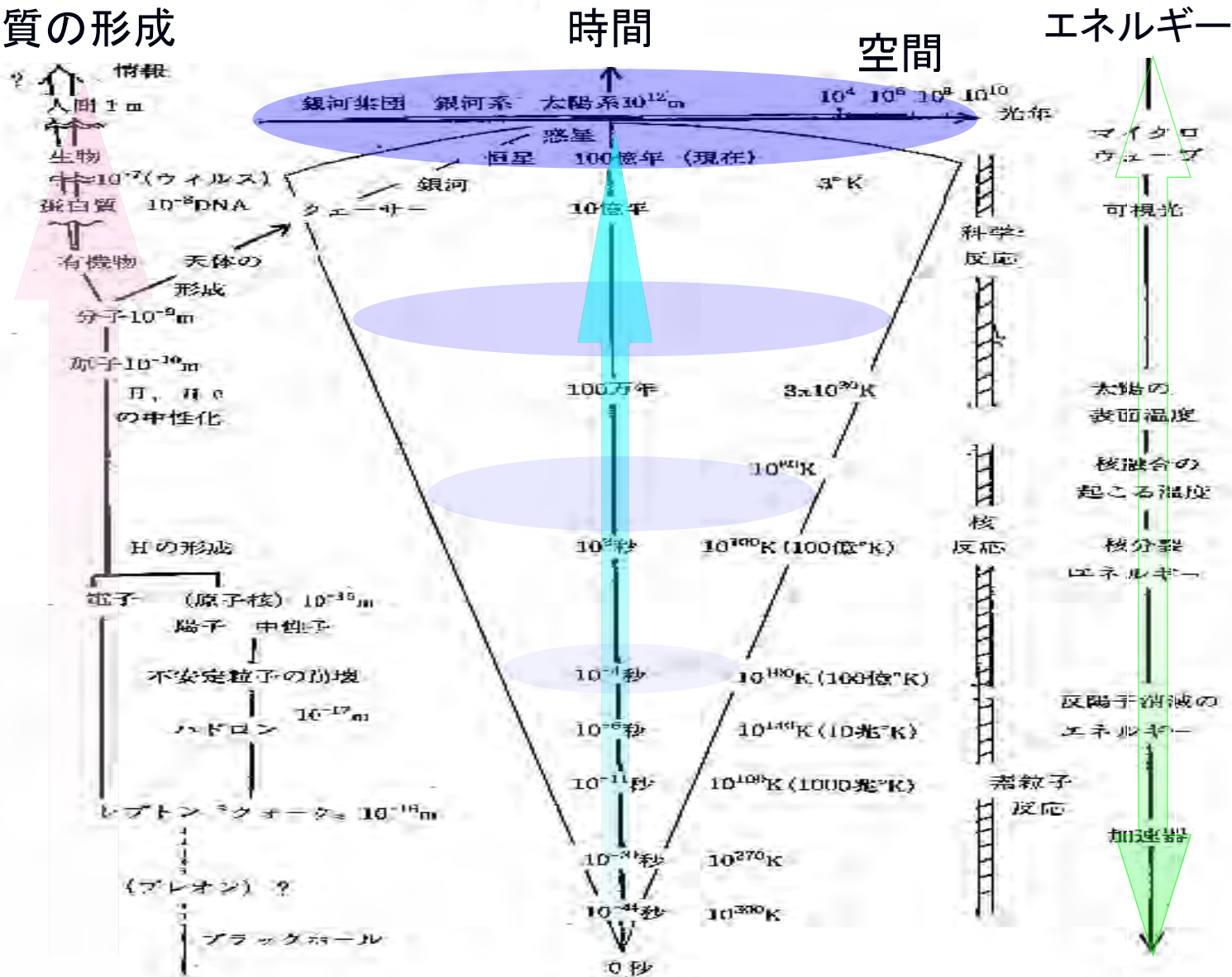
- ハードとソフト : 物質的実体とシステム(情報)的存在
- 情報一元論 : 世界は情報で造られている。
- デジタル一元論 : 情報はすべてデジタル(言語・記号)で表せる。
- 情報処理＝計算 : デジタル処理はすべて数学的計算により可能。

「世界は計算機によって造られる。」 ↔ “シミュレーション” という。

創造された抽象世界 → 物質的実体を材料として具現化した世界  
|| ||  
シミュレートされた世界 ← 我々の宇宙/森羅万象

# 現在(地球時で)までの我々の宇宙の歴史(進化)

## 物質の形成



ビッグバン

# ■ ハード(hard) とソフト(soft) :

## “存在するもの”の2つの側面

	ハード: 物体、物質的素材 (形而下的存在)	ソフト: 働き、関係性、システム (形而上的存在)
物質	素粒子・原子・分子・物体・星	物質科学の力学法則
生物	タンパク質	生命
生物種	生物	進化
地球	生物・物質	環境・生態系
人間	細胞	自意識
社会	人間	組織・ネットワーク
言語	文字	意味
コンピュータ	電子機械	プログラム
脳	脳神経細胞	思考・記憶・認識

■ ソフトはハードが無いと存在しない。しかし、ハードそのものではない。

# ■ 情報一元論： -世界のすべては情報である。-

||  
“システム”(System)：系

科学(世界を理解する方法)の基本原理

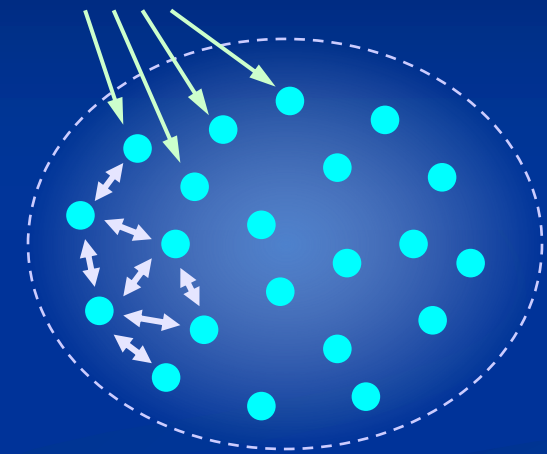
■ 原子論(atomism)

■ 機械論(mechanism)

要素還元主義

↓  
物質的実体(を考えた)

構成単位(要素)



多体系：構成単位の集合から“もの”は成り立つ。

■ 物質的単位が基本(ハードが重要)

組成物体は何か？(大きい物体→小さい物体 へと探求) : マクロ → ミクロへ

e.g. 物質 → 分子 → 原子 → 素粒子

生物 → 細胞 → タンパク質 → DNA

■ 機能的単位が基本(ソフトが重要)

基本機能の集合から“もの”の振舞いは如何に発現するか？ : ミクロ → マクロへ

◎ハード的組成の違いより、ソフト的同等性に注目。→ “システム”という考え方  
(しくみ・働き/法則・ルール) = 情報

◎すべての“もの”をソフト的存在とみなす。→ 「ソフト的要素還元主義的世界観」

# ■ 情報的世界観 ⇔ デジタル一元論

## 例1) 物質的実世界:

- 大きさ/形(体積): 物体 → 分子 → 原子 → 原子核 → 素粒子 ⇔ “点粒子”  
 $10^{-8}$     $10^{-10}$     $10^{-15}$     $10^{-18}$  (m)   大きさを持たない!  
⇒ 点の集団の構造(正味の体積=0)   (∵ 相対性理論)  
⇒ 空間的位置座標の集合 → 数値
- 色 ⇒ 光 ⇒ 電磁波の波長(4000~8000Å) → 数値
- 電磁気力(原子/分子を構成する相互作用) ⇒ 電荷(属性) → 数値  
ゲージ場(素粒子) ⇔ 位置座標の関数  
(∵ 相対論的場の量子論)



点(“粒子”)の集合の関数関係(相互作用/力)の総体



■ 数字・記号で表現される世界

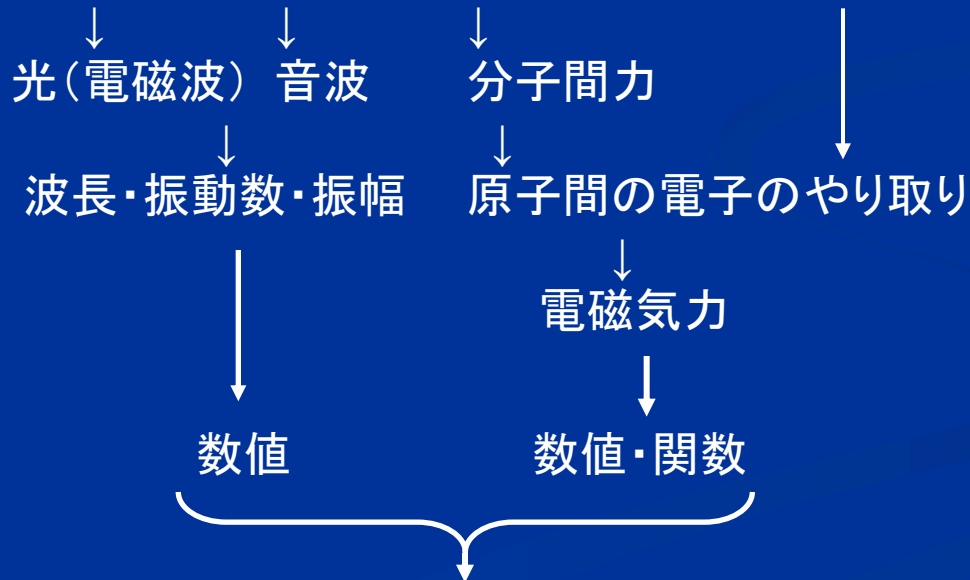
## 例2) 我々が“物質的実世界を認識する”とは？

||  
情報を得ること。

### 情報の種類

- 言語情報：文字・数字・記号(図形的区別)  
音声言語(音声的区別) } + 文法(関係性) ⇔ 論理情報

- 五感覚：視覚、聴覚、触覚、味覚、嗅覚  
“非論理情報” (映像) (音響) (圧力) (化学変化)



■ 文字・数字・記号で表現できる！

# ■ コンピュータという概念の成立：（情報処理 = 計算）

すべての情報 ← 文字・数字・記号で表現できる。（論理情報）

↓  
情報 = “記号” (digit : 数字) の列

↓  
0, 1 の列 (binary digit 略して “bit” : 2進法)

↓ ← 記号論理学/基礎数学 (1930年代から)

ブール代数：「0, 1 の列の代数計算により 論理の体系はすべて表現可能」

↑ ↓  
■ すべての (論理) 情報は 0, 1 の計算で表現し尽くせる。

これを実行する概念上の “万能計算機” ← ライプニッツのidea (18C)  
(易経の陰陽道: 2進法)

↓  
チューリング機械 (数学モデル)

↑ ↓  
この機械を工学的に実現できる原理

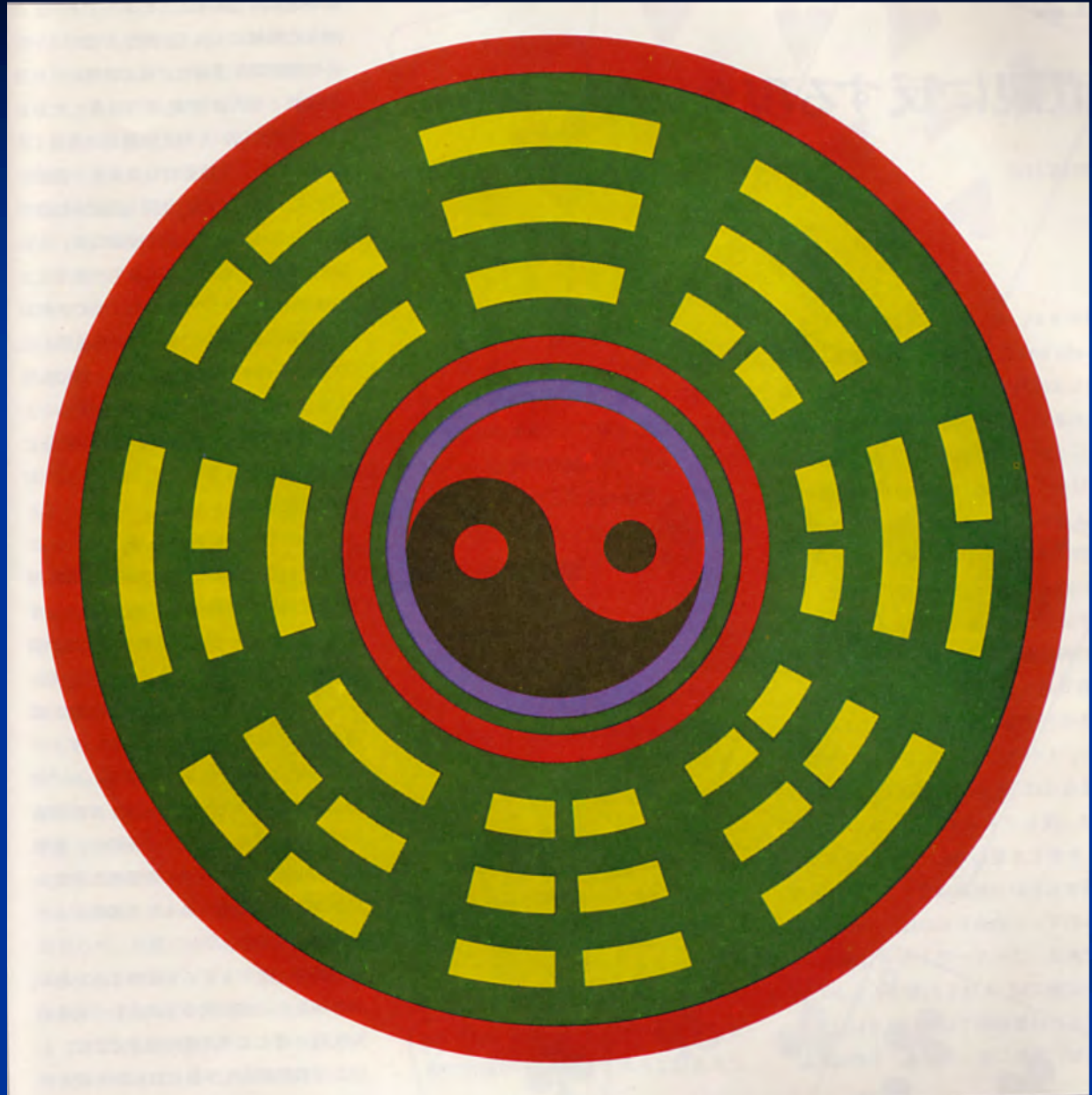
■ ノイマンの「コンピュータの原理」(1948)



# “大極図”

古代中国の  
陰陽の象徴

三重記号の配列  
8個 =  $2^3$ 通り  
6ビット



# 易経の六重記号 の文王配列

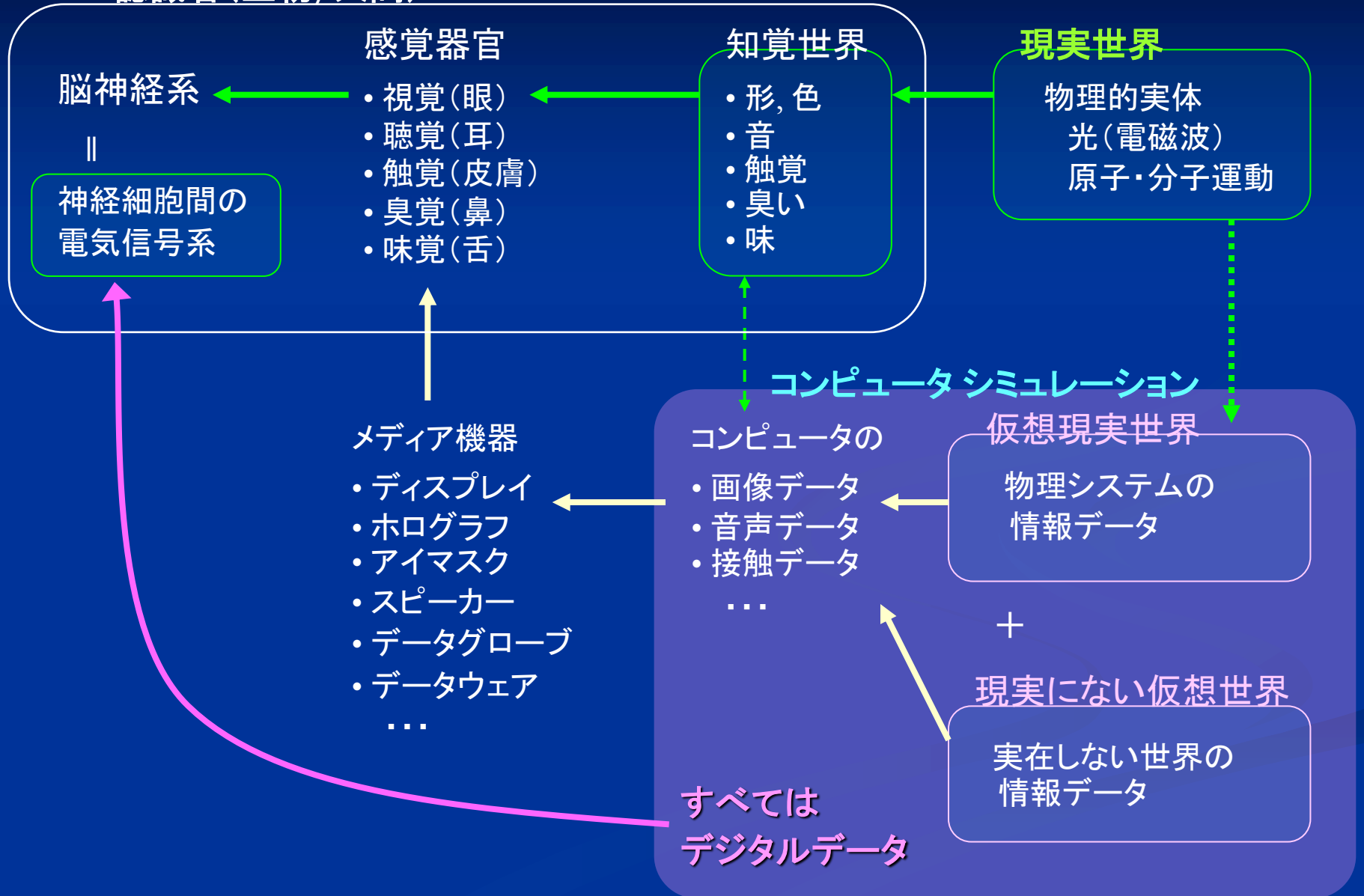
64個 =  $2^6$  通り  
6ビット

8  比(ひ)	7  師(し)	6  訟(しょう)	5  節(じゅ)	4  蒙(もう)	3  屯(じゅん)	2  坤(こん)	1  乾(けん)
16  姤(よ)	15  夬(けん)	14  大有(たいゆう)	13  同人(どうじん)	12  否(ひ)	11  泰(たい)	10  麗(り)	9  小畜(しょうちく)
24  復(ふく)	23  剝(はく)	22  賁(ひん)	21  噬嗑(ぜいごう)	20  觀(かん)	19  臨(りん)	18  公(こう)	17  隨(ずい)
32  恒(こう)	31  咸(かん)	30  離(り)	29  坎(かん)	28  大過(たいか)	27  頤(い)	26  大畜(たいちく)	25  姤(ひほう)
40  解(かい)	39  夬(けん)	38  睽(けい)	37  家人(かじん)	36  明夷(みんい)	35  晉(しん)	34  大壯(たいそう)	33  遁(とん)
48  井(せい)	47  困(こん)	46  升(しょう)	45  睽(すい)	44  姤(こう)	43  夬(かい)	42  益(えき)	41  損(そん)
56  旅(りょ)	55  豊(ほう)	54  歸妹(きまい)	53  漸(ぜん)	52  困(こん)	51  巽(しん)	50  睽(てい)	49  革(かく)
64  未済(みさい)	63  既濟(きさい)	62  小過(しょうか)	61  中孚(ちゅうふ)	60  節(せつ)	59  坎(かん)	58  兌(だ)	57  蹇(そん)

64個の易経の六重記号の文王配列

# ■ シミュレーションとバーチャルリアリティ(virtual reality)

認識者(生物/人間)



## 2. シミュレーション科学とは

### 2. 1 シミュレーションという研究方法

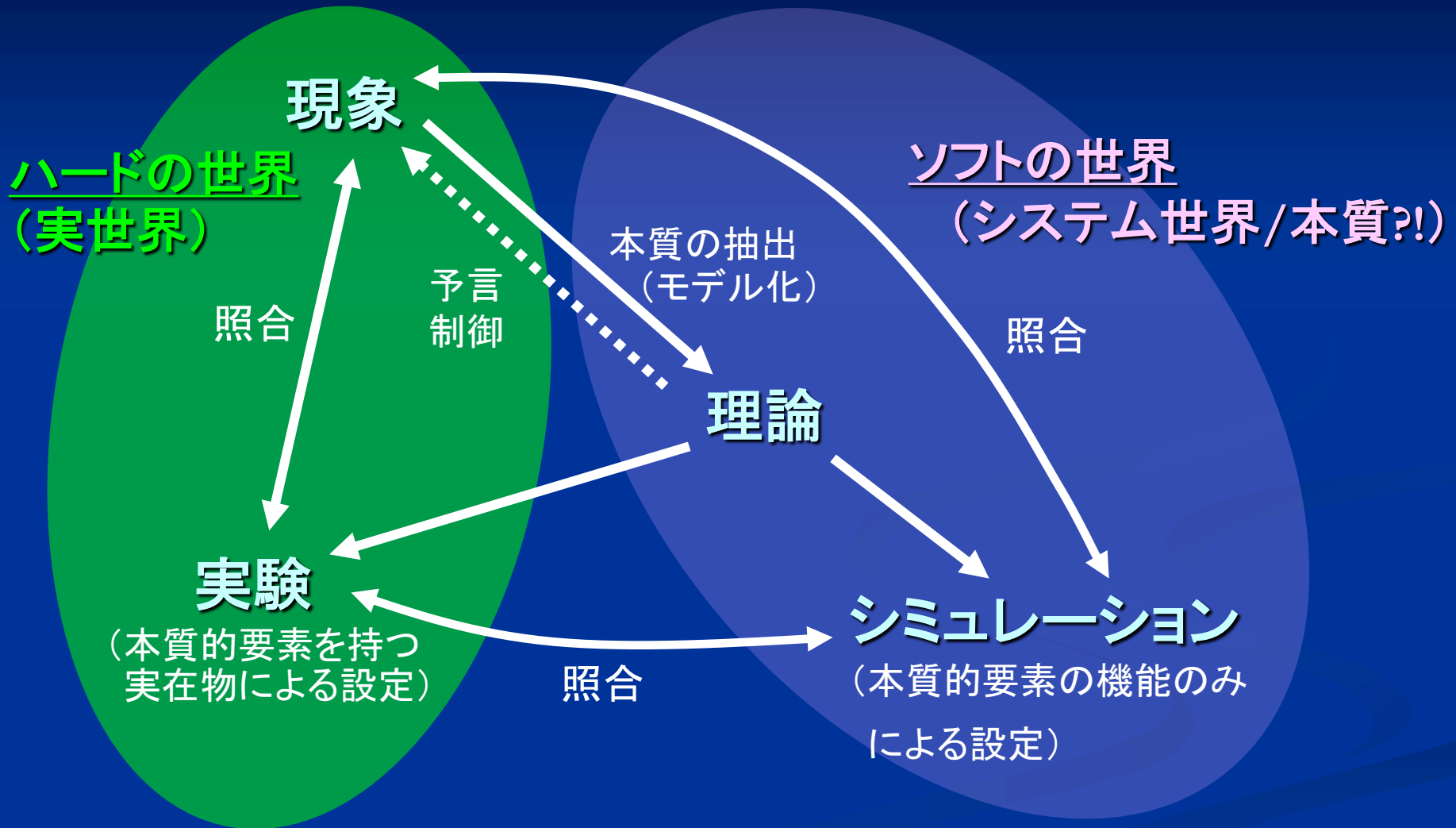
### 2. 2 シミュレーションの方法が有力である研究対象

(共通する一般的性質: ⇒ “複雑性”)

- 世界の構造・階層性(ミクロ:微視→マクロ:巨視)
- ミクロからマクロに発現する新たなソフト／性質
- “複雑”な現象とは何か？
- 複雑さを特徴付ける概念

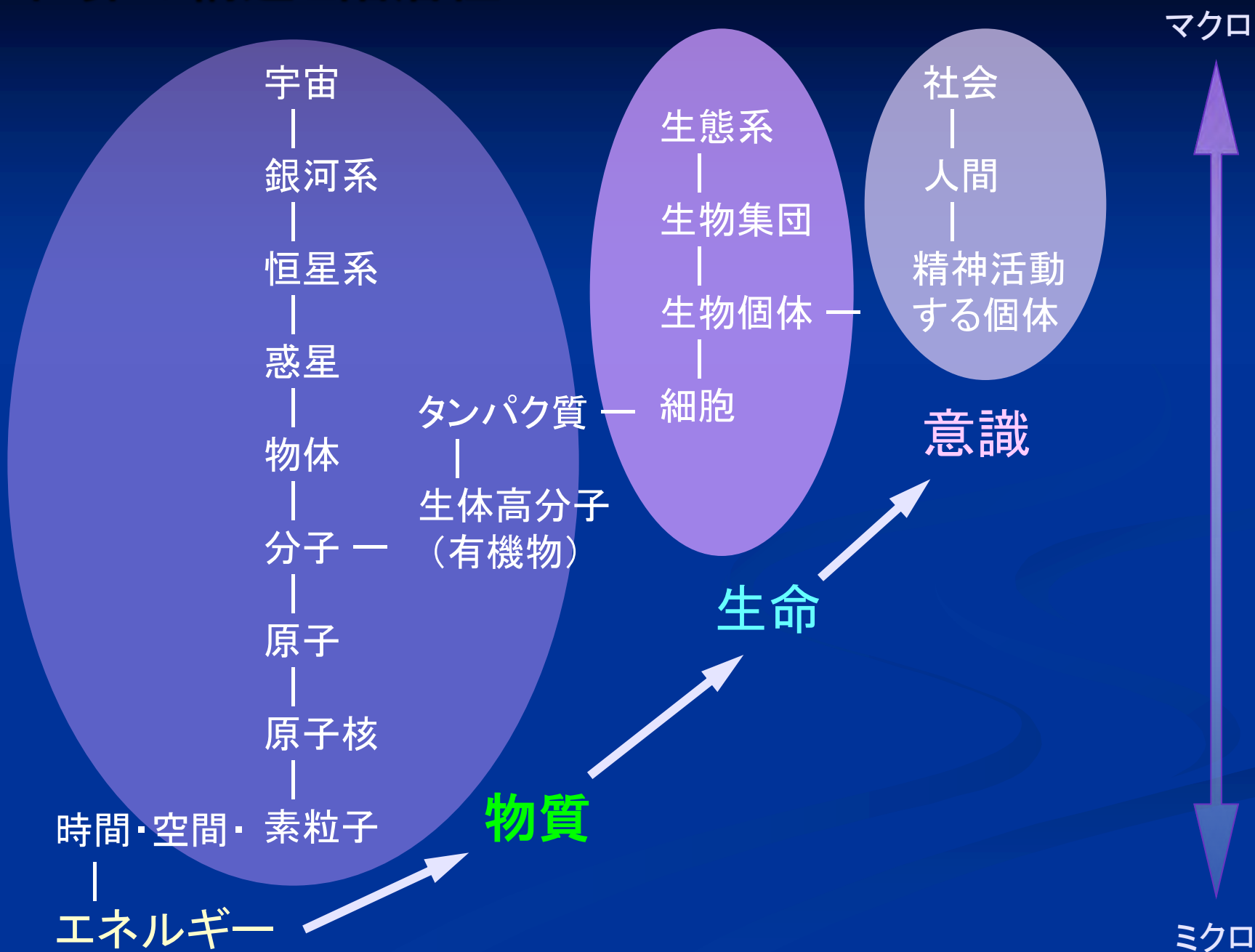
：

# シミュレーションという研究方法



- シミュレーションでのみ現実との照合が可能な現象 (宇宙/生物の進化、社会/経済現象、地球環境、e.t.c)

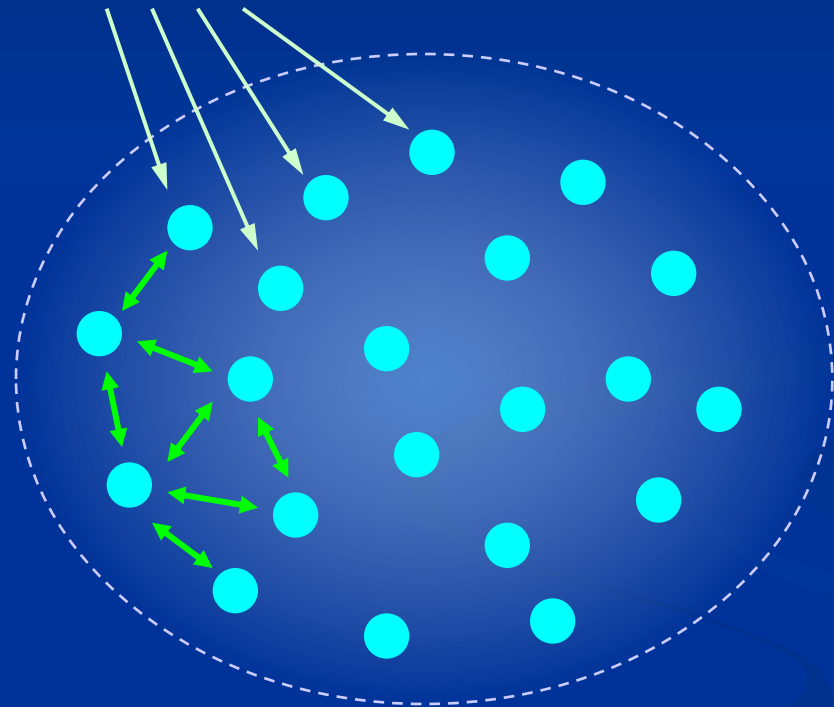
# 世界の構造と階層性



# 世界(階層)はどのように作られるか？

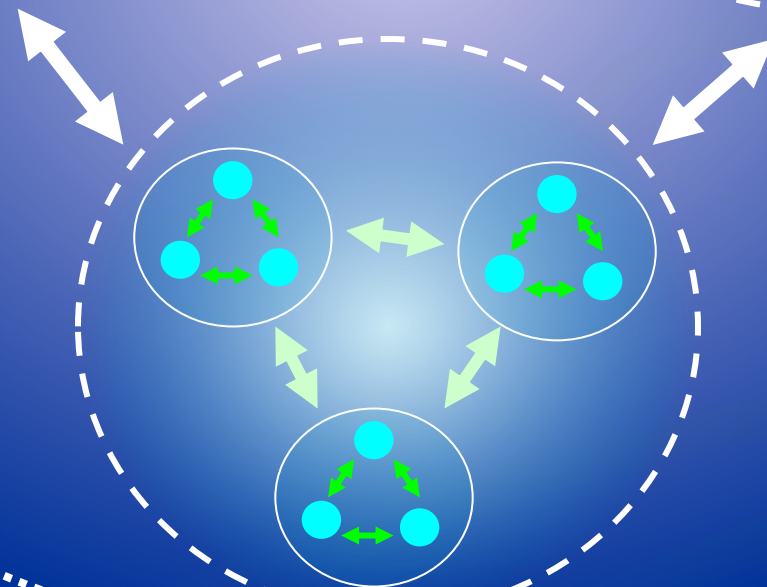
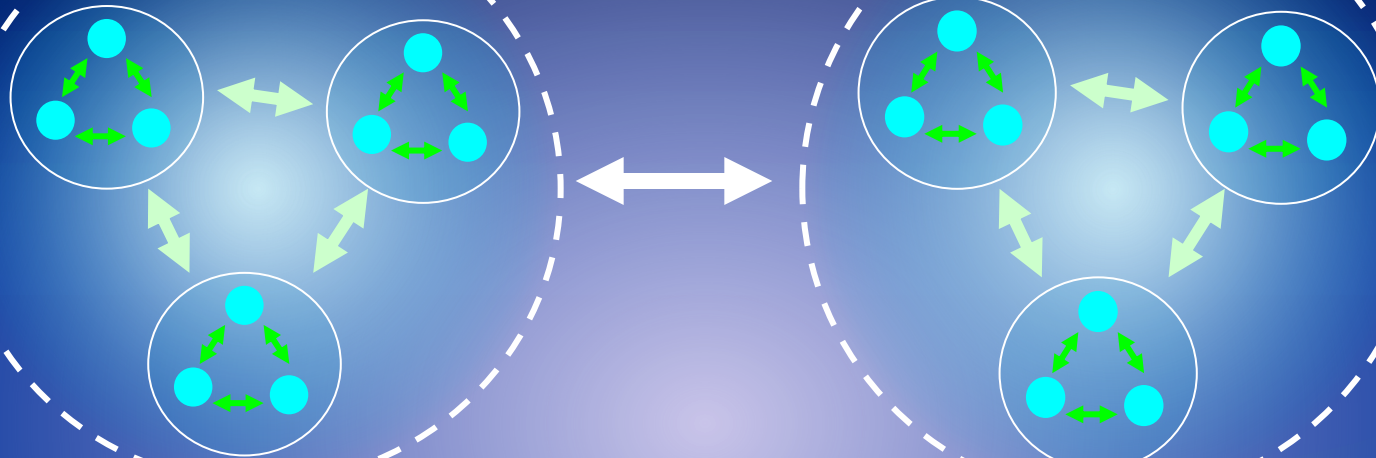
## ■ ミクロ(微視的)構成分子の集団: 多体系

構成分子の間の  
微視的相互作用  
(Interaction)  
//  
関係性



## ■ マクロ(巨視的)の世界: 形態/様相

# 相互作用と階層構造



⇔ は ⇄ で作られ、  
⇄ は ⇨ で作られる。



# 世界はすべて、マイクロ世界の集団の相互作用の総体として形成されたマクロな“もの”として存在する。

## マイクロ(微視世界)

素粒子：クォーク・レプトン  
陽子/中性子  
原子核・電子  
原子  
分子  
物質  
星  
銀河  
アミノ酸

## 相互作用

QCD  
核力  
電磁気力  
"  
分子間力  
重力  
"  
"  
"  
化学結合

## マクロ(巨視世界)

陽子/中性子(ハドロン)  
原子核  
原子  
分子  
物質  
星  
銀河  
宇宙  
タンパク質

タンパク質  
細胞  
生物  
スウォーム, 人間  
数・記号/文字  
言語

?  
??

細胞  
生物  
生態系  
社会  
言語  
意味

マクロ構造に  
新しい性質のソフト  
|| が発現!  
“複雑さ”/非自明

# 複雑さとは？（「構成分子や要素の数が多い」ということではない！）

## ■ 種類の多さの比較：

ミクロ

マクロ  $\leftrightarrow$  ミクロな構成分子の組み合わせ

陽子/中性子・電子 3  $\rightarrow$  原子核/原子  $10^2$

原子(元素)  $10^2 \rightarrow$  無機物質分子  $10^4$

C, H, N, O 4  $\rightarrow$  有機物質分子  $>$  タンパク質の種類

生物の種類  $10^8$

塩基 A, G, C, T 4  $\rightarrow$  1本のDNAが表せるタンパク質の種類  $10^{200000}$

## ■ 数の多さの比較

砂丘の砂粒の数 =  $10^{16}$

人間の体細胞の数 =  $10^{15} = 2^{50}$  (50回の細胞分裂)

宇宙の星の数 =  $10^{22}$

物質を作る分子の数 =  $10^{24}$  (アボガドロ数)

ルービックキューブの面の様子数: 54面(6色) =  $10^{20}$

囲碁の打ち方の数:  $19^2$ の格子点に2種類(白/黒)を置く =  $10^{140}$

情報量エントロピー =  $\log(W)$ : 組み合わせの数

複雑さ： 少ない要素でも 組み合わせの多さ  $\Rightarrow$  多様性の発現



相互作用/ルールの性質が反映

## ■ 形態の多様さの比較:

- 物質の構造は単純: 周期的 → 情報量は少ない

食塩の結晶: NaCl  $10^{-4}$  m

金の分子配列: Au  $10^{-8}$  m

Fig. 6.9 The arrangement of atoms in a cubic crystal lattice. The spheres represent the location of the atoms and the tubes linking them represent the direction of the bond lines holding the atoms in place.

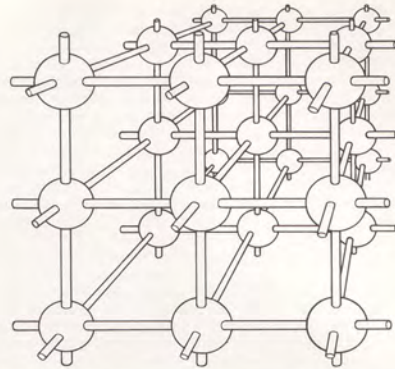
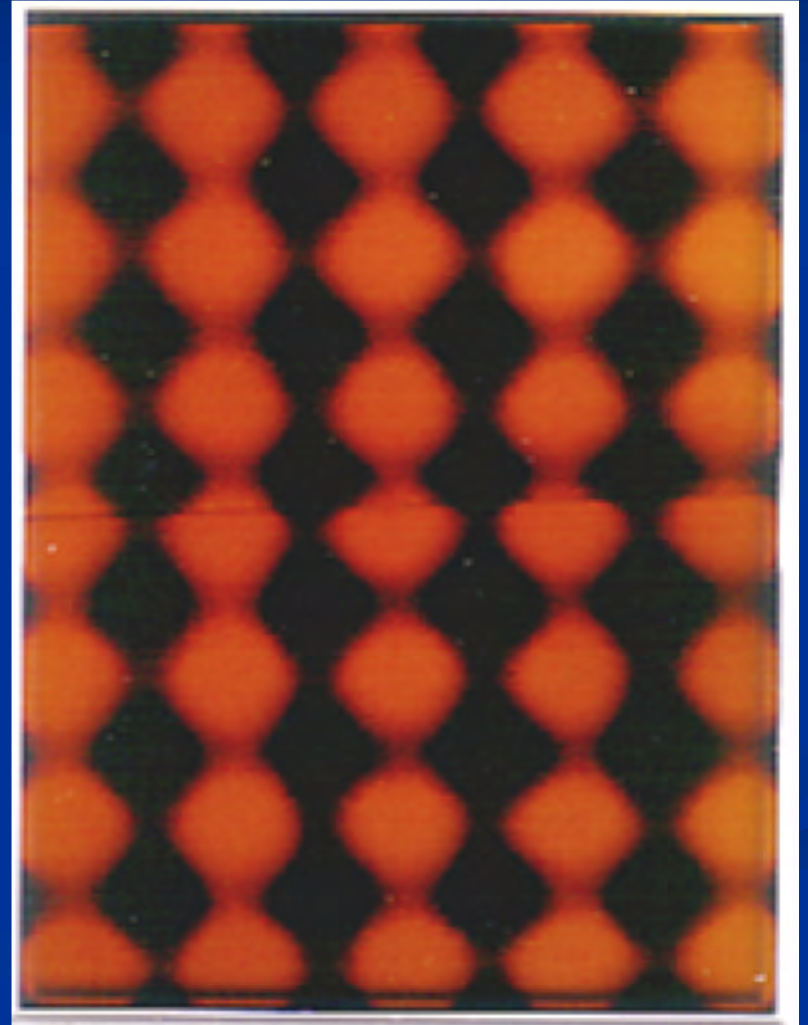


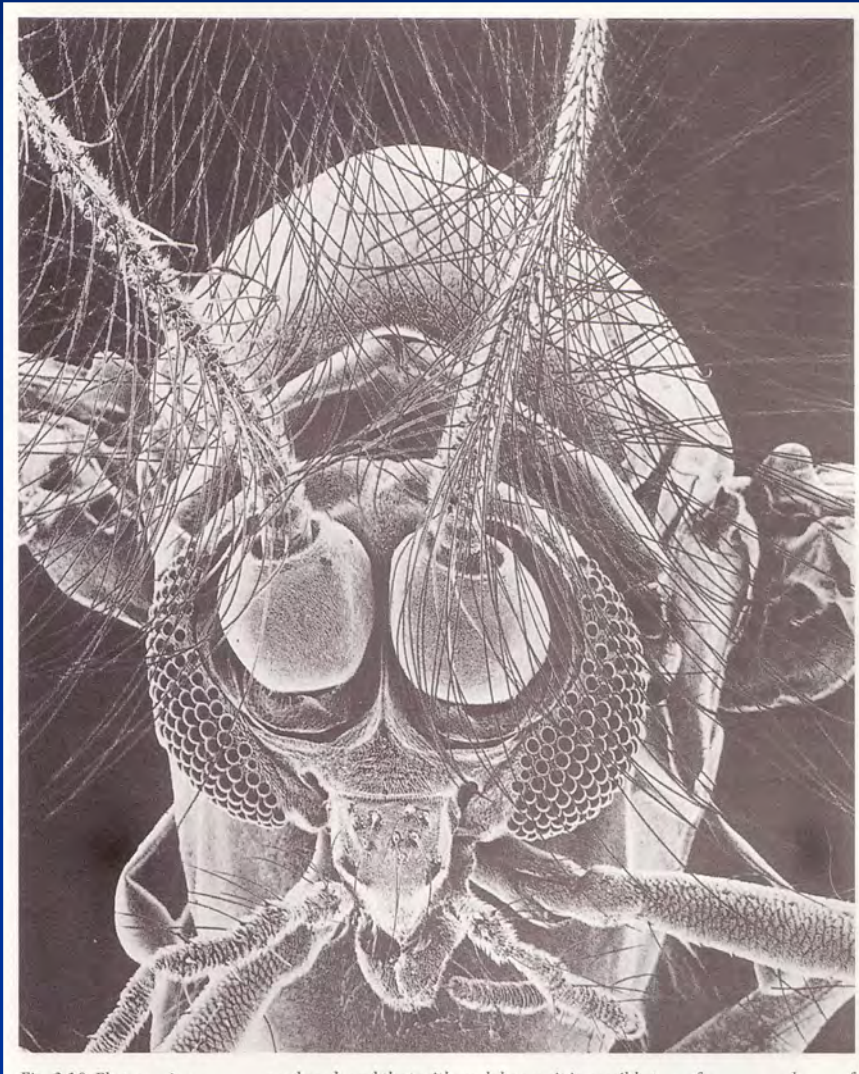
Fig. 6.10 Common table salt magnified 50 times by an electron microscope. The evident cubic structures reflect the underlying lattice structure.



● 生物の形態は複雑：非周期的 → 情報量が多い

蚊(か)の頭部： $10^{-4}$  m

変形菌(粘菌変形体)の多様な形態： $10^{-3}$  m  
子実体の形成



子実体形成(サビムラサキホコリ) 群馬県河生市 8.25-26 ×1



17時45分：樹皮の内側から変形体が這い出す。



2時20分：胞子形成が進み、着色し始める。



21時45分：小塊に分かれ、伸び始める。



3時00分：胞子形成がさらに進む。



23時40分：半分ほど伸びる。



5時00分：胞子形成が完了。まだ湿った状態。



0時40分：ほぼ伸び切る。



16時00分：乾いた状態。茶色は胞子の色。

# 複雑/非自明(難解)な現象の一般概念:【今後の話の地図】

“システム”としてのマクロ現象

形態形成・自己複製(増殖)・代謝・  
進化・集団運動・同期/引き込み・

現実の対象:

生物・社会・スウォーム・脳・  
非平衡多体系物質現象・

↑  
基盤になる一般概念  
抽象概念(数理的な概念)

- カオス
- 自己相似性(スケーリング/フラクタル)
- 相転移(臨界現象)/分岐/カタストロフィ
- パターン形成
- ホメオダイナミクス(代謝)
- 計算論的複雑さ
- “複雑性”

↔ モデル/システムの例

- ・ 2重振り子, 3体問題, Li-Yorkカオス
- ・ カントール集合, マンデルブロー集合
- ・ Isingスピン系, CA, 力学系
- ・ CA, ライフゲーム
- ・ OVモデル
- ・ アルゴリズム, PNP問題
- ・ CA, ライフゲーム, 力学系

- ◆ 非線型性 (≠ 線型性)
- ◆ 非平衡系 (≠ 平衡系)
- ◆ 非保存系/散逸系 (≠ 保存系)
- ◆ 離散性 (≠ 連続性)

# 3. シミュレーション科学で見える概念

## 抽象概念(数理的概念)

- カオス
- 自己相似性(スケーリング/フラクタル)
- 相転移(臨界現象)/分岐/カタストロフィ
- パターン形成
- ホメオダイナミクス(代謝)
- 計算論的複雑さ
- “複雑性”

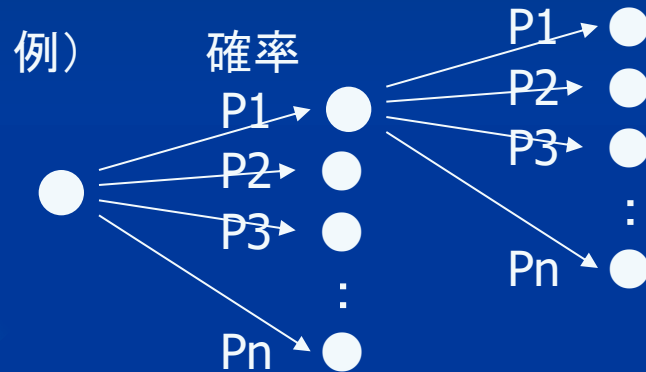
# カオス (Chaos) : 周期性から → 非周期性へ / ⇒ カオス

決定論 : 「今の状態」 → 「次の状態」が一意的に決まる。 [決定論的世界観]

“すべての変化は必然である。” ⇔ 予測可能

と ● → ● → ● → ● → ● → ● → ● → ● → ● → ● → ● → …

非決定論 : 「今の状態」 → 「次の状態」が一意的に決まらない。



[確率論的世界観] ⇔ 予測不可能

カオスとは ⇒ 「決定論であるが、予測不可能な過程」! ? (厳密な定義は数学で)

具体例 : ■ 古典力学

単振り子 → 2重振り子、1体問題・2体問題 → 3体問題

■ 力学系

Meiのモデル(個体数の増殖)、Li-Yorkのカオス

■ セルオートマトン( Wolframモデル・Langton)

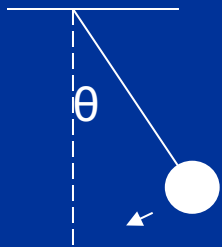
# カオス (Chaos) : 周期性から → 非周期性へ / ⇒ カオス

## ■ 古典力学 : Newtonの運動方程式 (2階の微分方程式) を解けば

ある時刻  $t_0$  : 位置  $x_0$ , 速度  $v_0$  がわかれば、  
→ 未来の任意の時刻  $t$  : 位置  $x(t)$ , 速度  $v(t)$  が完全にわかる。  
[決定論]

### ■ 振り子

#### ・ 単振り子



運動方程式: 位置  $\theta(t)$

$$\begin{aligned} \frac{d^2\theta}{dt^2} &= -\frac{g}{l} \sin \theta \\ &= -\frac{g}{l} \left( \theta - \frac{1}{3!}\theta^3 + \frac{1}{5!}\theta^5 - \frac{1}{7!}\theta^7 + \dots + (-1)^{n-1} \frac{1}{(2n-1)!} \theta^{2n-1} + \dots \right) \end{aligned}$$

非線型 (1次式ではない) 単純ではないが、やはり周期的運動

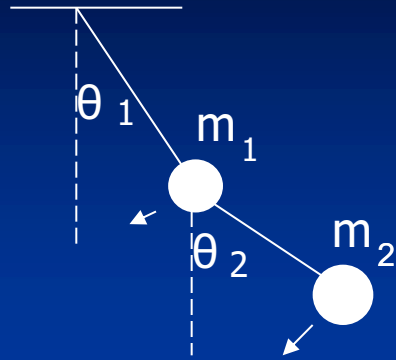
$$\frac{d^2\theta}{dt^2} = -\frac{g}{l} \theta$$

線型化 (1次式に近似) 単振動: 周期的運動



・ 2重振り子

運動方程式：位置 $\theta_1(t)$ ,  $\theta_2(t)$   
連立微分方程式



$$\begin{aligned} (m_1 + m_2)l_1^2 \frac{d^2\theta_1}{dt^2} + m_2l_1l_2 \cos(\theta_1 - \theta_2) \frac{d^2\theta_2}{dt^2} \\ + m_2l_1l_2 \sin(\theta_1 - \theta_2) \frac{d\theta_2}{dt}^2 + (m_1 + m_2)gl_1 \sin \theta_1 = 0 \\ m_2l_2^2 \frac{d^2\theta_2}{dt^2} + m_2l_1l_2 \cos(\theta_1 - \theta_2) \frac{d^2\theta_1}{dt^2} \\ - m_2l_1l_2 \sin(\theta_1 - \theta_2) \frac{d\theta_1}{dt}^2 + m_2gl_2 \sin \theta_2 = 0 \end{aligned}$$

2つの非線型系の結合：

2つのおもり  $m_1$ ,  $m_2$  の運動は **カオス的**！

■ 決定論である微分方程式の解

(解析的には解けない。⇒ 数値シミュレーションで運動を追跡する。)

であるにもかかわらず、**予測不可能な運動**をする。

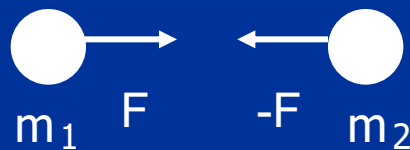
# ■ 重力(万有引力)/クーロン力：逆2乗力による粒子の運動

- ・ 1体問題:



自由運動(慣性運動)

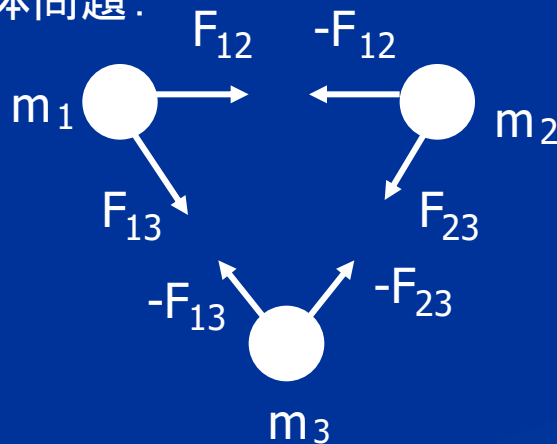
- ・ 2体問題:



$$F = G \frac{m_1 m_2}{r^2}$$

周期運動

- ・ 3体問題:



カオスの運動

# ■ 個体数増殖のモデル：Meiの力学系/Logistic写像

$x_n$  : n年目のある生物の個体数  $\rightarrow x_{n+1} = f(x_n)$  で変化する. : 写像(mapping)

● 個体数の時間的变化 :  $x_0 \rightarrow x_1 \rightarrow x_2 \rightarrow x_3 \rightarrow \dots$  [決定論]

i) 増殖率:  $x_{n+1}/x_n = a (>0, \text{一定})$  とする。  $\Rightarrow x_{n+1} = ax_n$  よって  $x_n = a^n x_0$

■  $0 < a < 1$  :  $x_n (n \rightarrow \infty) \rightarrow 0$  死滅

■  $1 < a$  :  $x_n (n \rightarrow \infty) \rightarrow \infty$  際限なく増殖

} 非現実的

ii) 増殖率:  $x_{n+1}/x_n = a(1-x_n)$  とする。  $\Leftrightarrow$  個体数が増えていくと増殖率が抑えられ、  
1(ある限界単位)で増殖率=0になる。

$\Rightarrow x_{n+1} = ax_n(1-x_n)$  現実的

・  $x_n (n \rightarrow \infty) \rightarrow$  どうなるか?  $\Rightarrow n \rightarrow \infty$  で収束するならば、 $x_n = x_{n+1} = x_\infty$

つまり  $x = ax(1-x)$  の解 :  $x=0$  または  $(a-1)/a$

■  $0 < a < 1$  :  $x_n (n \rightarrow \infty) \rightarrow x=0$  死滅

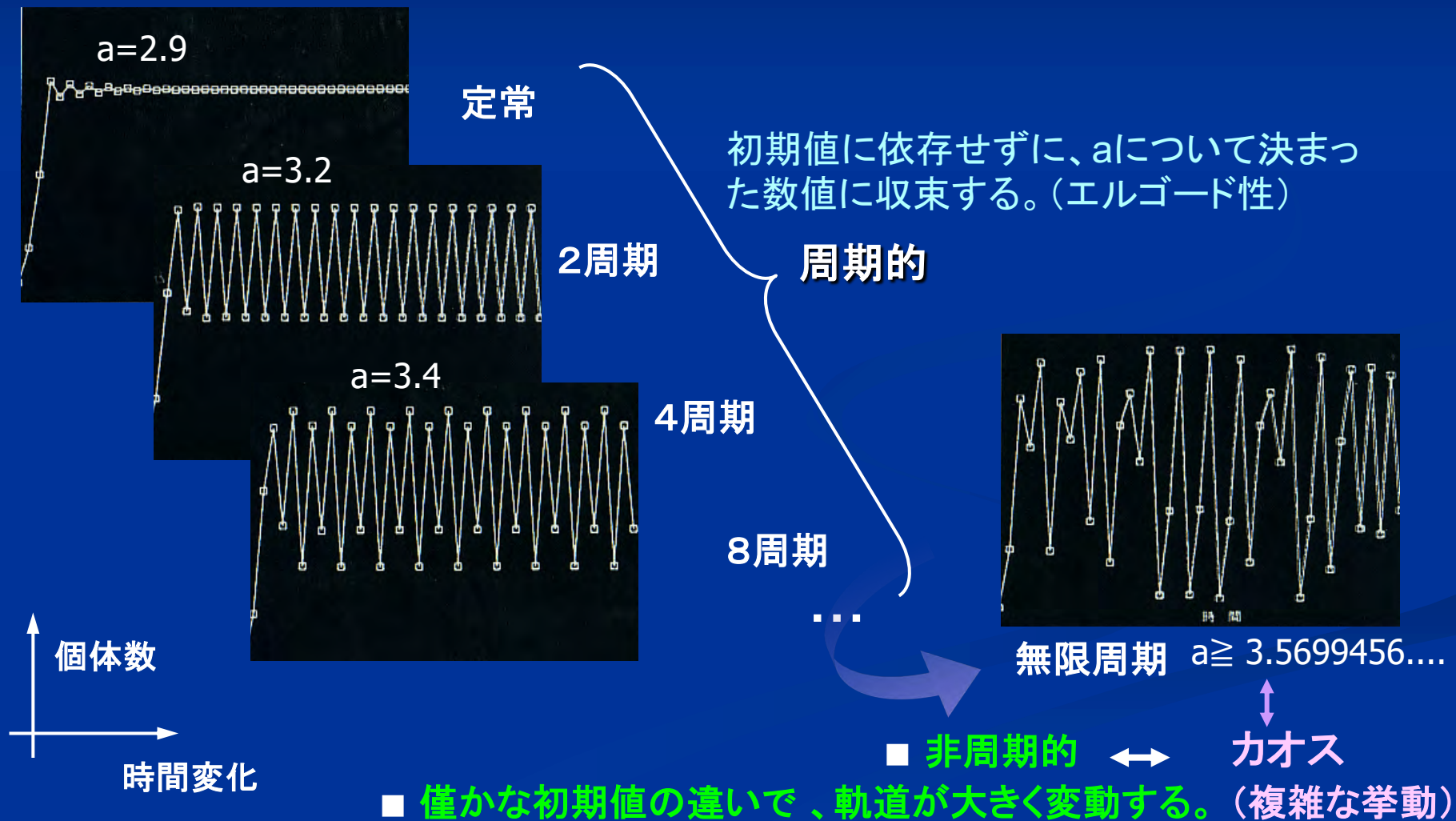
■  $1 < a$  :  $x_n (n \rightarrow \infty) \rightarrow x=(a-1)/a$  一定数に収束するように思えた。  $\leftarrow$  実はそう単純ではない?!

↑  
シミュレーション

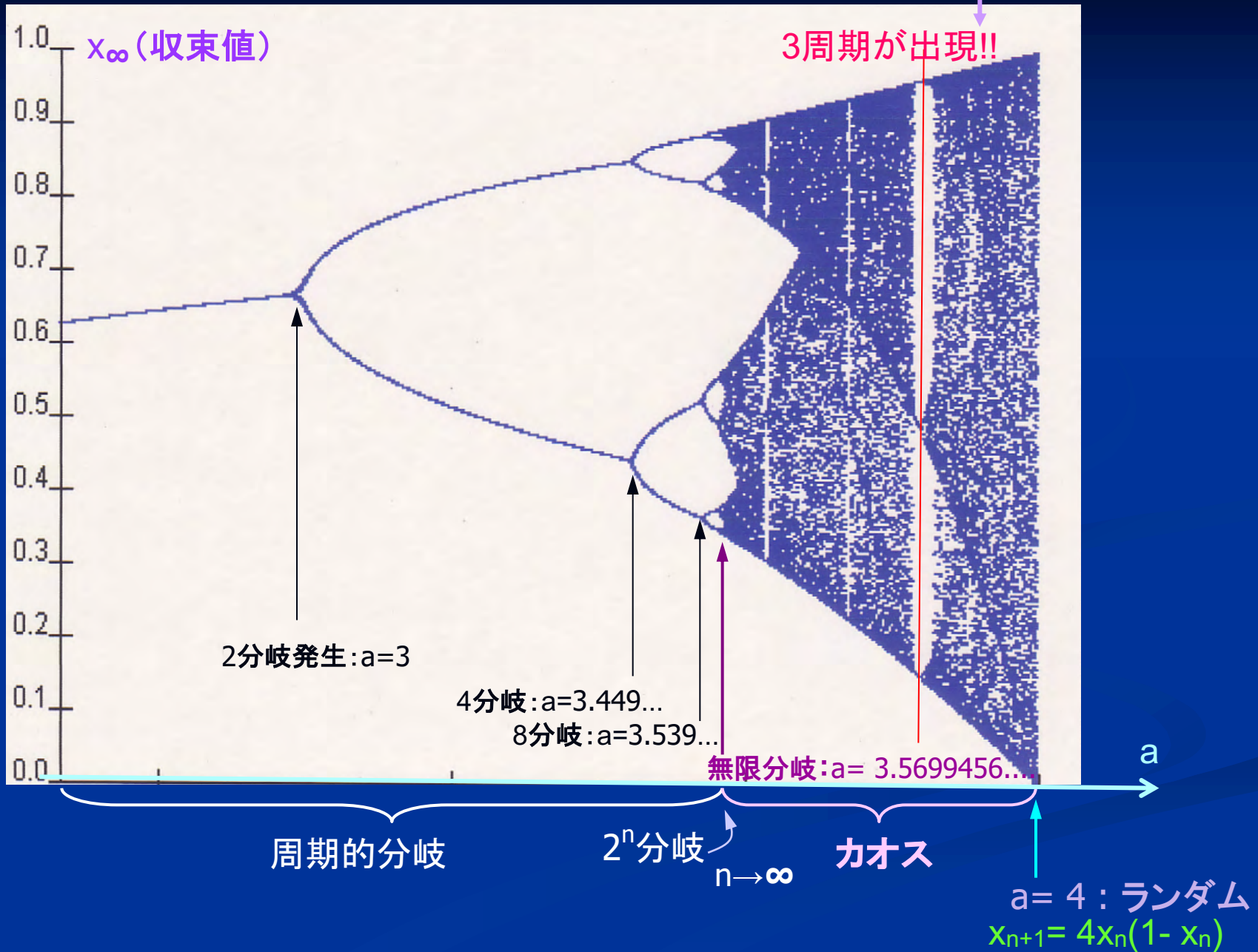
# 個体数増殖のモデル：Mei の力学系のシミュレーションの結果

■  $x_n$  : n年目の個体数  $\rightarrow x_{n+1} = ax_n(1 - x_n)$  で変化する。

個体数の時間的变化： $x_0 \rightarrow x_1 \rightarrow x_2 \rightarrow x_3 \rightarrow \dots$

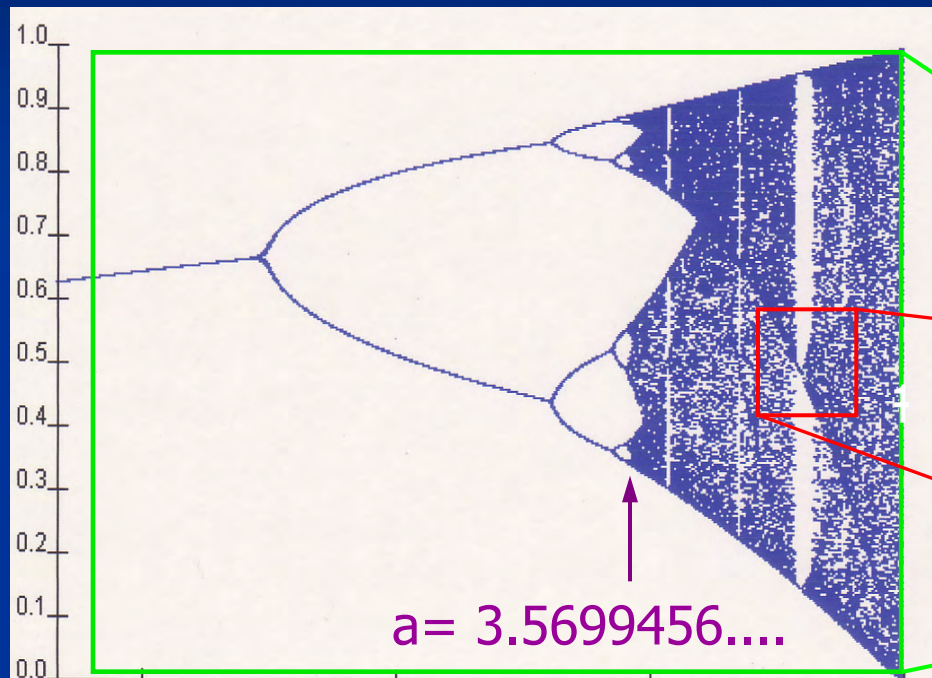


# パラメータ $a$ の変化による収束値の変化の全体図：分岐 $\Rightarrow$ カオスへ



# カオス (Chaos) の自己相似性

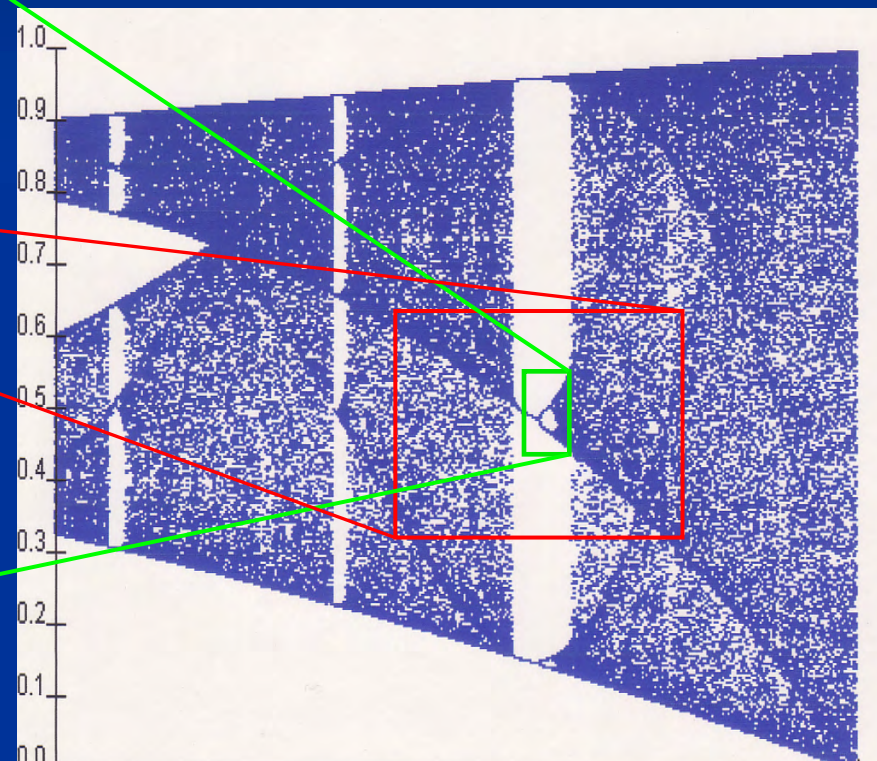
- パラメータ  $a$  の変化による分岐 (周期の増加) の全体像



周期的

カオス

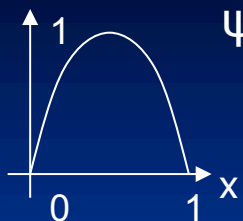
[拡大図]



$a = 4$  : ランダム (random)

$$x_{n+1} = 4x_n(1-x_n)$$

■ Li-Yorkカオス写像について  $I=[0,1]$  は不変集合 (Invariant Set)



$\psi(x)=4x(1-x)$ ,  $I=\{x \mid 0 \leq x \leq 1\}$  について  $I \ni x \rightarrow x'=\psi(x) \in I$ ,

i.e.  $I=\psi(I) \Leftrightarrow I \ni x_0 \Rightarrow x_0 \rightarrow x_1 \rightarrow x_2 \rightarrow x_3 \rightarrow \dots \in I$

同値

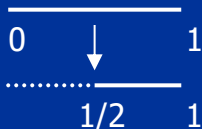
■ カオス写像の逆関数  $\Leftrightarrow$  縮小写像  $R(x)$

$$\varphi(x) = \begin{cases} 2x & (0 \leq x \leq 1/2) \\ 2(1-x) & (1/2 \leq x \leq 1) \end{cases}, \text{ also } I=\varphi(I)$$



$$R(x)=\varphi^{-1}(x)=F_1(x) \cup F_2(x) \quad (x \in I)$$

$$F_1(x)=x/2, \quad F_2(x)=1-x/2$$



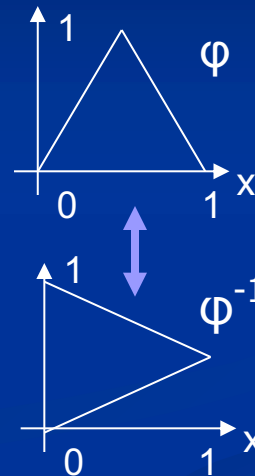
$$\begin{aligned} I &= \varphi^{-1}(I) \\ &= F_1(I) \cup F_2(I) \text{ 明らか!} \\ &= F_1(F_1(I) \cup F_2(I)) \cup F_2(F_1(I) \cup F_2(I)) \\ &= \dots \\ &= \bigcup_{n \rightarrow \infty} \underbrace{F_{w_1} \cdot F_{w_2} \cdot F_{w_3} \cdot \dots \cdot F_{w_n}}(I) \end{aligned}$$

0.  $w_1 w_2 w_3 \dots w_n \dots$

(2進数表示:  $w_i=1(0)$  or  $2(1)$ )

$$I=R(I)=R \cdot R(I)=R \cdot R \cdot \dots \cdot R(I)=\dots=R^\infty(I) : \text{収束}$$

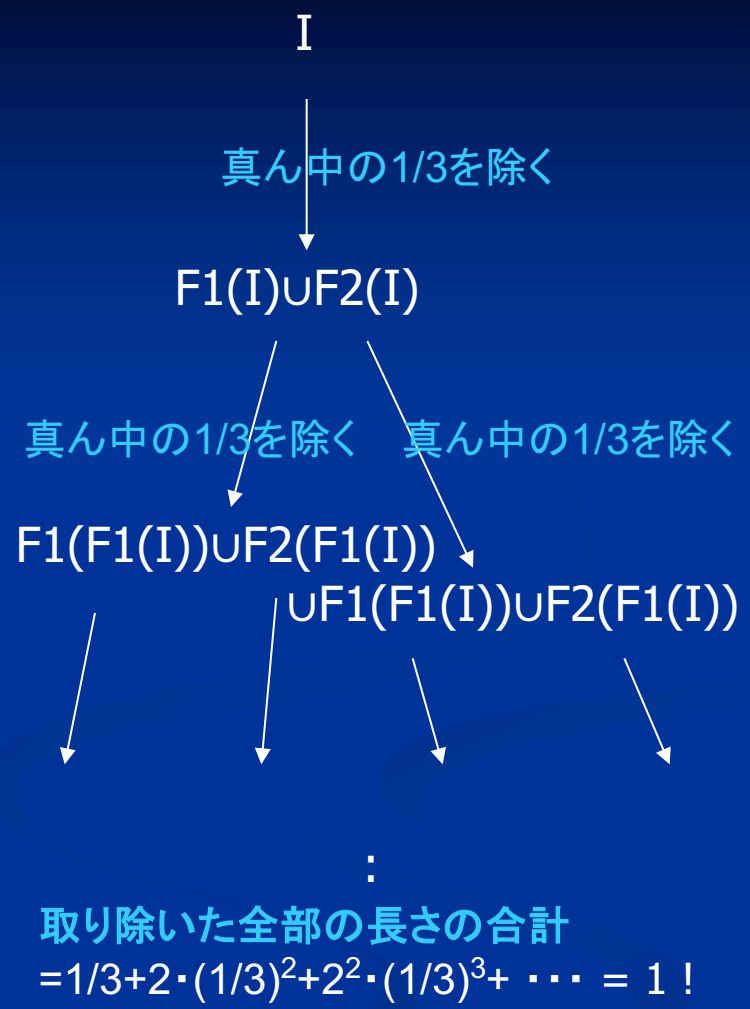
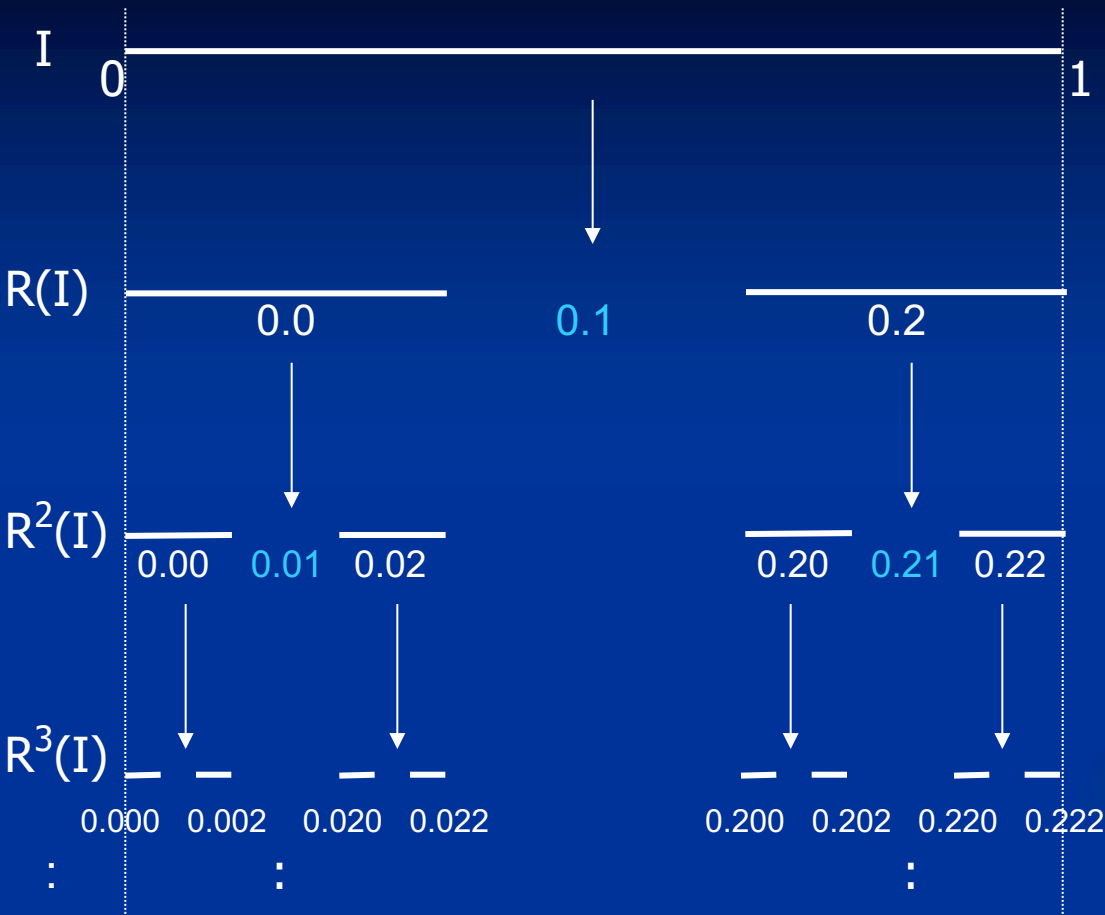
$$\Rightarrow R^\infty(I)=R(R^\infty(I)) \text{ i.e. } R^\infty(I) \text{ は } R \text{ についての不変集合}$$







# Cantor集合 : C



取り除いた全部の長さの合計  
 $= 1/3 + 2 \cdot (1/3)^2 + 2^2 \cdot (1/3)^3 + \dots = 1!$

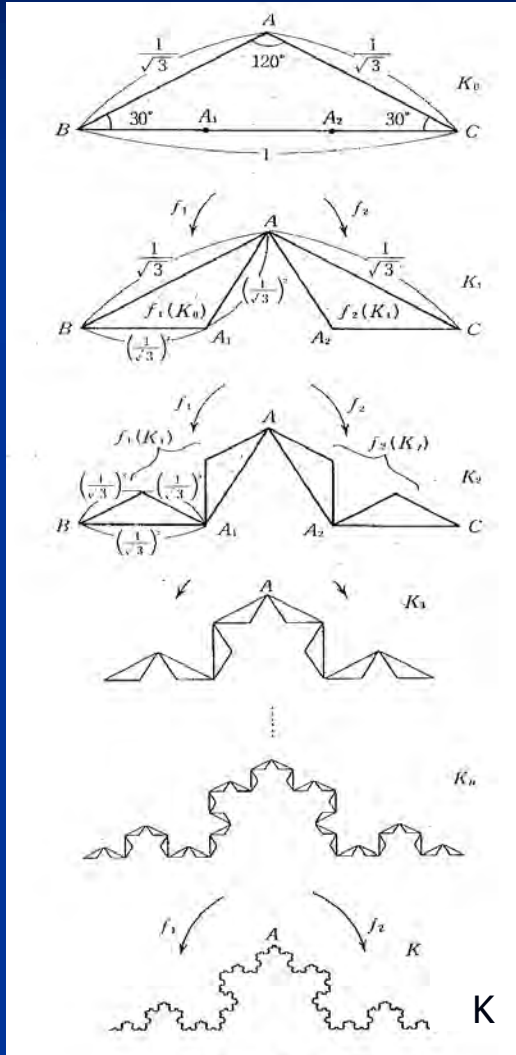
$R^\infty(I) = C$

Cantor集合

- 自己相似図形 :
  - ・  $2^n$  ( $n \rightarrow$  無限個) の点の集合 = 連続無限 (実数の数と同じ) かず
  - ・ 連結してない点の集合  $\Rightarrow$  長さ=0 ||
- 0と2のみからなる3進数表示の小数の集合 = 直線を作る点の数

自己相似図形  $K \Leftrightarrow$  縮小写像  $R$  を無限回繰り返して作る。i.e.  $K=R^\infty(I)$

■ Koch曲線: 



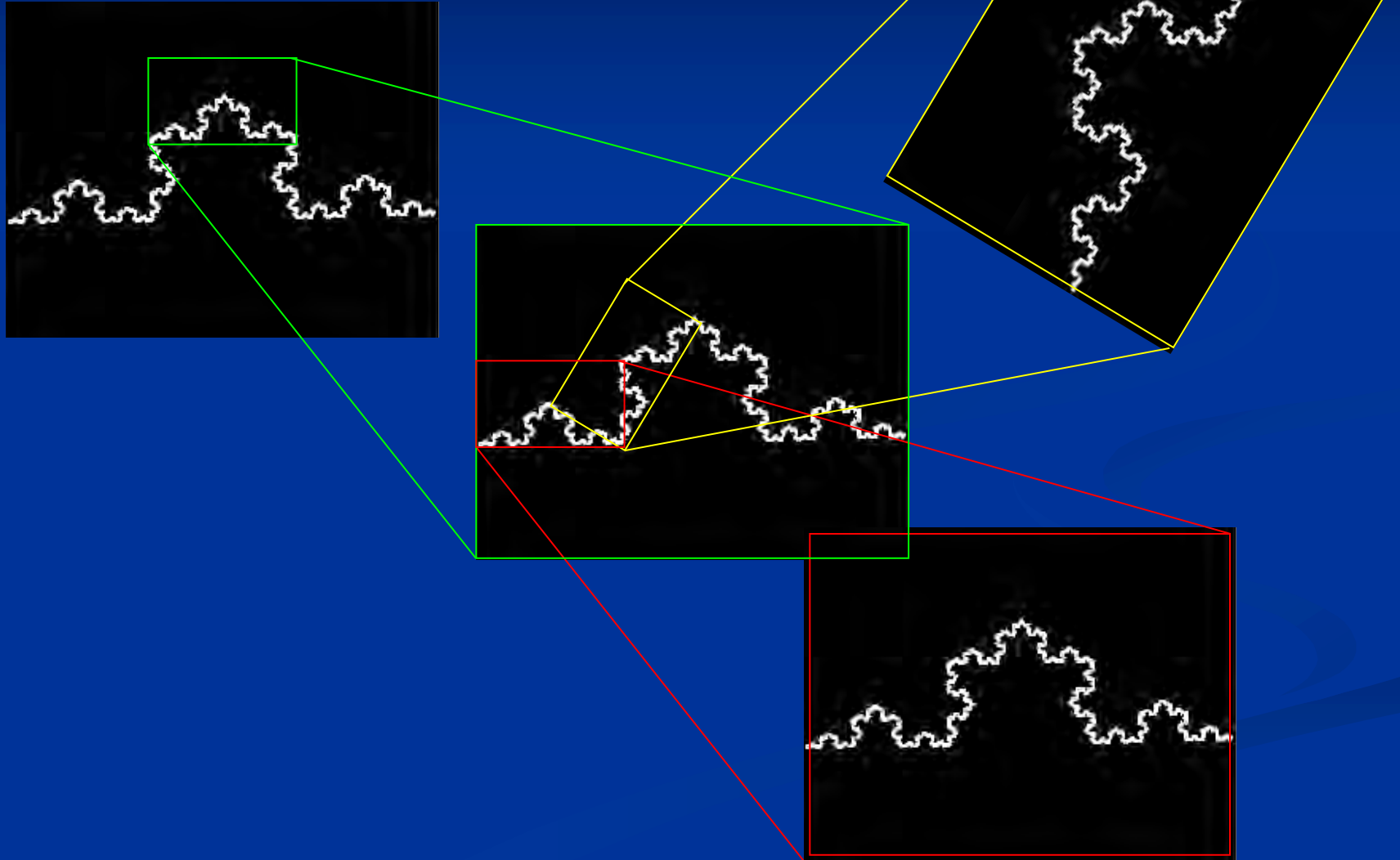
2つの相似な三角形に変換

各ステップの三角形

数	底辺の長さ	総和	面積	総和
1	1	1	$\frac{1}{4\sqrt{3}}$	$\frac{1}{4\sqrt{3}}$
2	$\frac{1}{\sqrt{3}}$	$\frac{1}{\sqrt{3}} \times 2$	$\frac{1}{4\sqrt{3}} \frac{1}{3}$	$\frac{1}{4\sqrt{3}} \frac{1}{3} \times 2$
4	$\left(\frac{1}{\sqrt{3}}\right)^2$	$\left(\frac{1}{\sqrt{3}}\right)^2 \times 4$	$\frac{1}{4\sqrt{3}} \left(\frac{1}{3}\right)^2$	$\frac{1}{4\sqrt{3}} \left(\frac{1}{3}\right)^2 \times 4$
$2^n$	$\left(\frac{1}{\sqrt{3}}\right)^n$	$\left(\frac{1}{\sqrt{3}}\right)^n \times 2^n$	$\frac{1}{4\sqrt{3}} \left(\frac{1}{3}\right)^n$	$\frac{1}{4\sqrt{3}} \left(\frac{1}{3}\right)^n \times 2^n$
$\infty$	0	$\infty !!$	0	0

Koch曲線: 点の集合 = 連続無限, 長さ =  $\infty !!$

# Koch曲線の自己相似性 (Self-Similarity)



カオス写像  $\varphi \Leftrightarrow$  逆関数写像 (縮小写像  $R = \varphi^{-1}$ )

$\Rightarrow$  不変集合 = 自己相似図形:  $K = R^\infty$  の特徴

1次元内の図形 (点の集合)

■ 直線  $I = [0, 1]$

■ Cantor集合

■ Koch曲線

縮小写像  $R$

$x/2 \cup 1-x/2$

$x/3 \cup 1-x/3$



点の数

連続無限:  
 $2^n$  ( $n \rightarrow$ 無限個)

連続無限

連続無限

長さ

1 (有限)

0

$\infty$  (無限大)

1次元図形か? 次元とは?

長さとは?

相似次元:  $d$

スケール  $1/2$  に縮小  $\Rightarrow$  相似図形の個数

線分 (1次元):  $2^1$  個

平面 (2次元):  $2^2$  個

立体 (3次元):  $2^3$  個

測度次元 (Hausdorff次元):  $h$

有限の大きさ (測度) を与える次元

線分 (1次元):  $(dx)^1$  長さ

平面 (2次元):  $(dx)^2$  面積

立体 (3次元):  $(dx)^3$  体積

スケール  $1/a$  に縮小  $\Rightarrow$  相似図形の個数  $b$

$$b = a^d \rightarrow d = \log b / \log a$$

積分  $\int \cdot (dx)^h =$  有限値 (測度) を与える  $h$

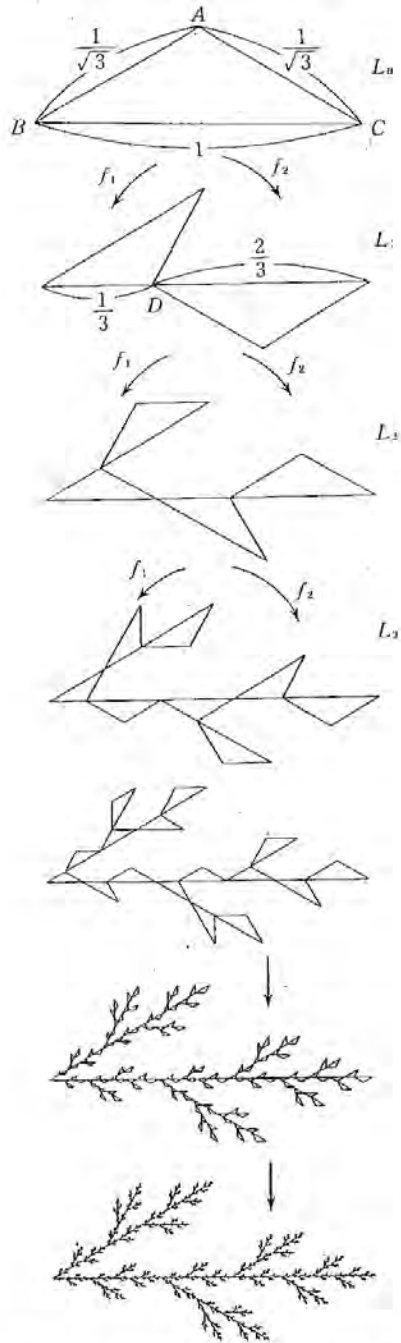
$\leftrightarrow D = h$  (\* 整数とは限らない)

“フラクタル次元”

e.g. Cantor集合  $2 = 3^d \rightarrow d = \log 2 / \log 3 = 0.6309... < 1$

Koch曲線  $2 = (\sqrt{3})^d \rightarrow d = \log 4 / \log 3 = 1.26... > 1$

## Koch曲線の仲間



“ スギの葉 ”      次元 :  $d$

$(1/\sqrt{3})^d + (2/3)^d = 1$  の解  $\rightarrow 1 < d < 2$

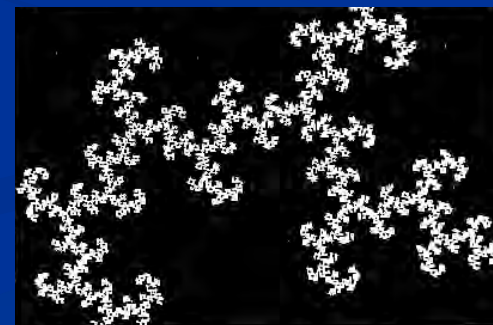
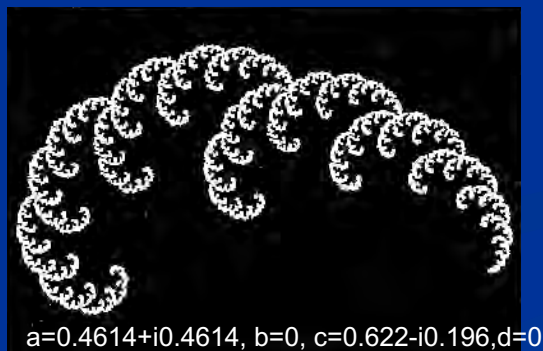
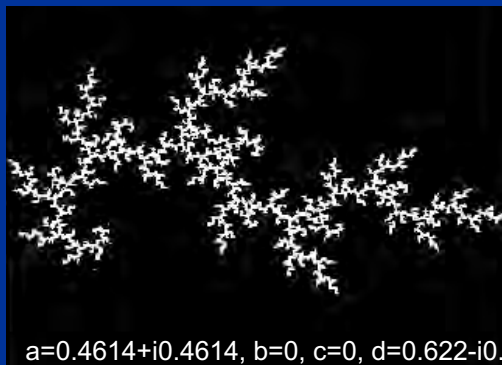
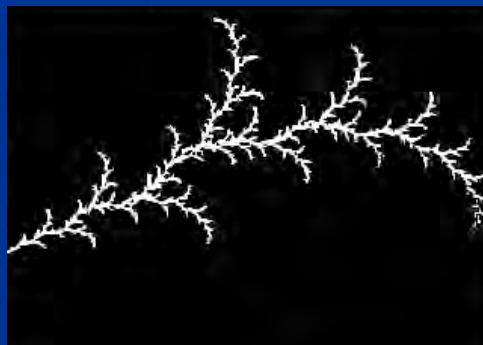
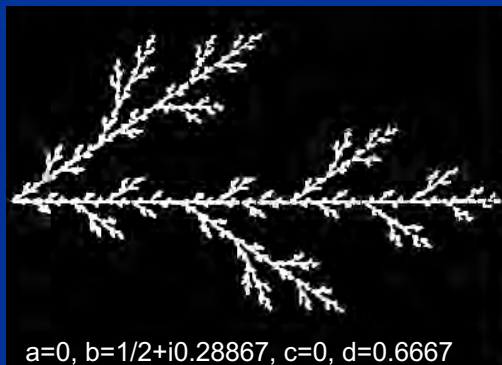
複素縮小写像(カオス過程)についての**不変集合  $K$**   $\Rightarrow$  2次元上の自己相似図形  
 (Koch曲線の同族:  $1 < \text{次元} < 2$ )

$$\begin{cases} f(z) = az + bz^* & , \text{ where } z = x + iy \\ g(z) = c(z-1) + d(z^*-1) + 1 \end{cases}$$

$$z_{n+1} = f(z_n) \cup g(z_n)$$

$K = f(K) \cup g(K)$  : 不変集合

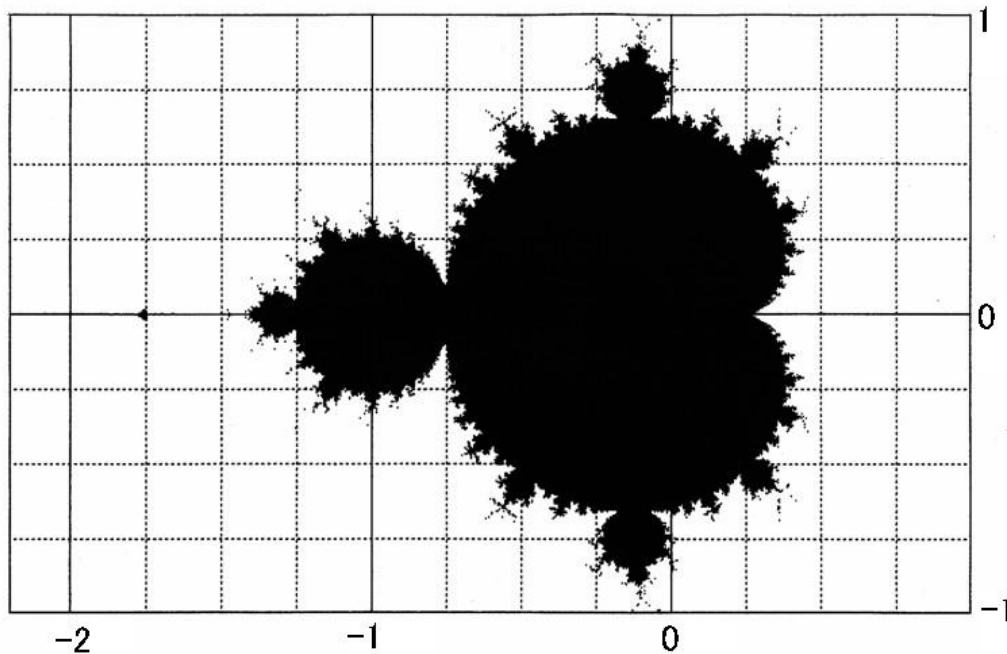
self-affine集合(線型写像)



# Manderbrot集合

複素非線形写像  $Z_{n+1}=Z_n^2+C$  ,  $Z_0=0$ (初期値) ;  $Z=x+iy$

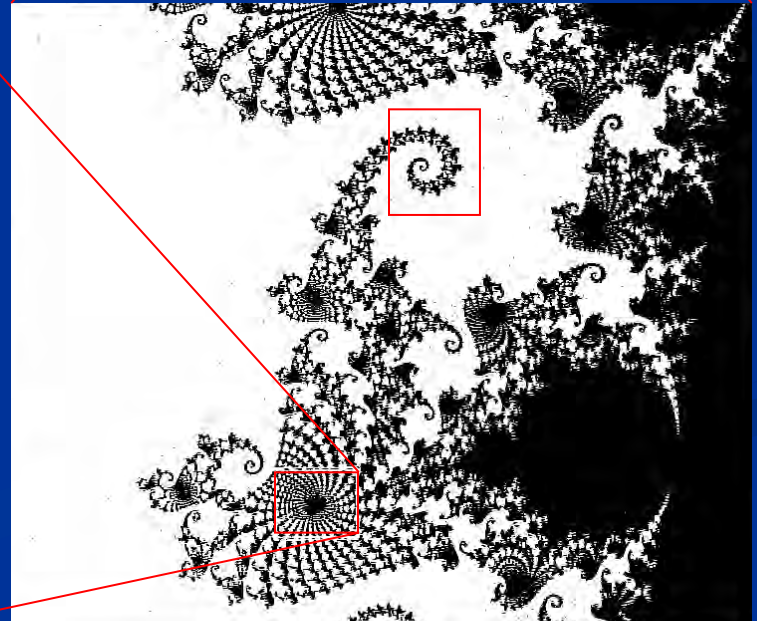
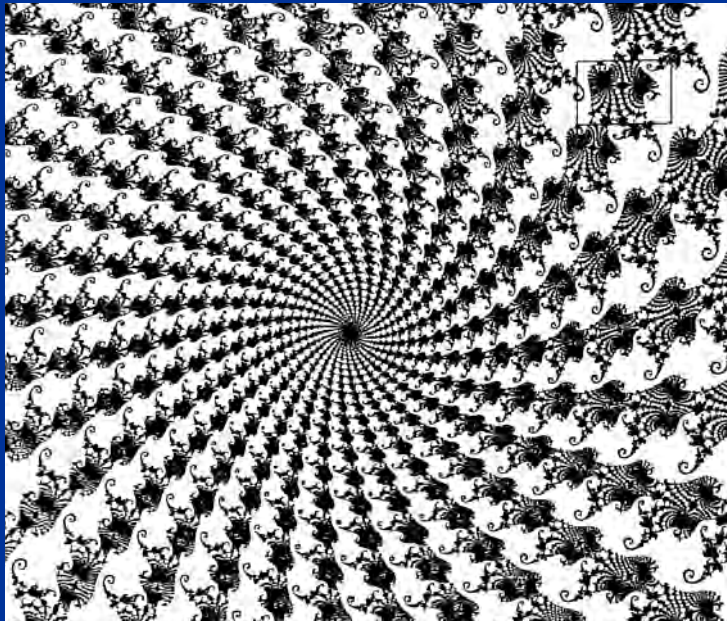
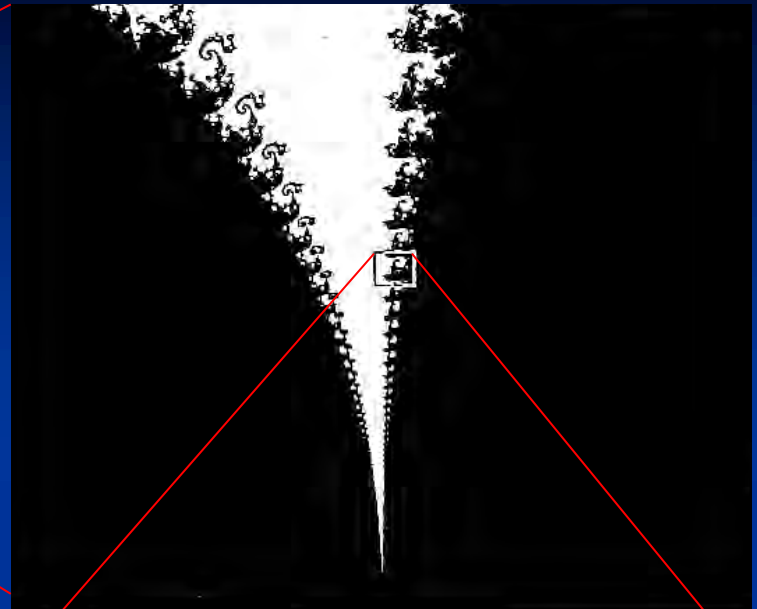
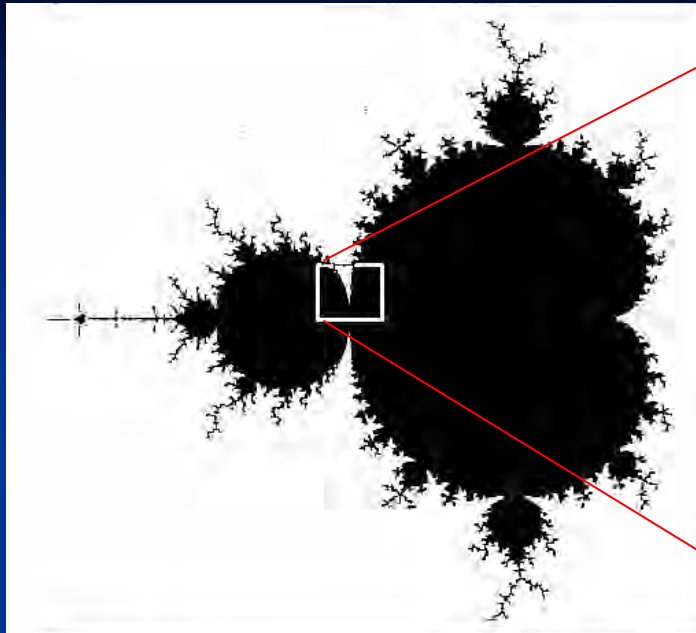
Manderbrot集合:  $Z_0 \rightarrow Z_1 \rightarrow Z_2 \rightarrow Z_3 \rightarrow \dots$   
が発散しないような複素数  $C$  の集合



- 黒い領域の外: 発散
- " " の中: 収束
- 境界'曲線': カオス写像 (自己相似図形)

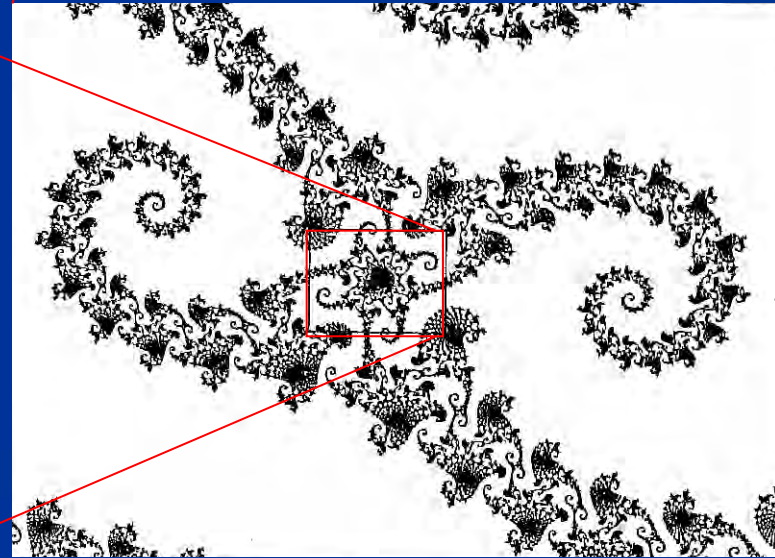
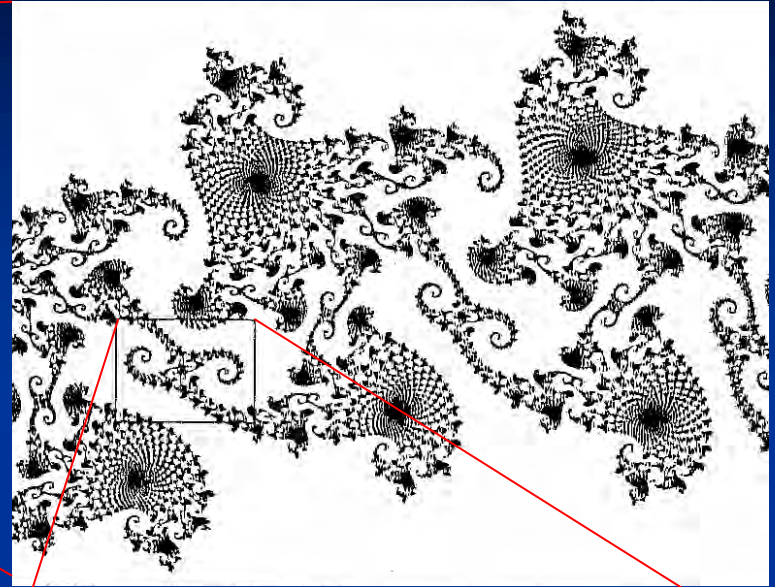
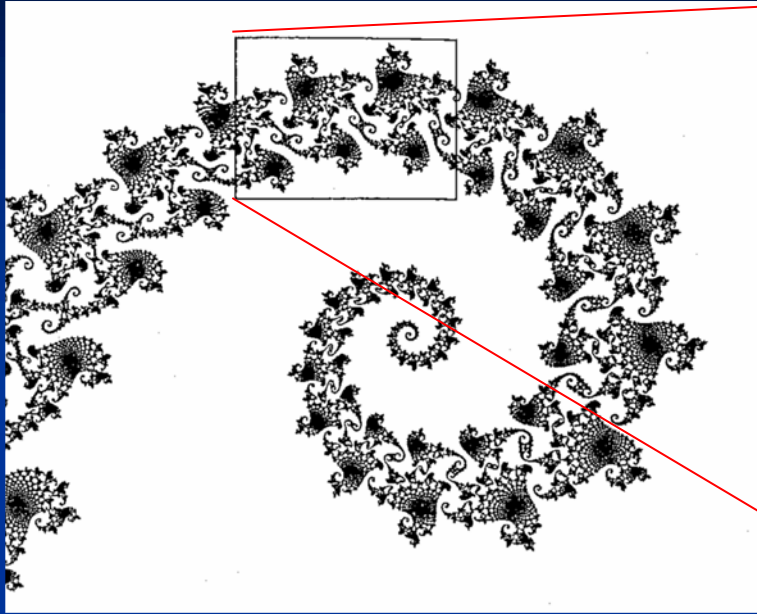
- Manderbrot集合は連結集合である。
- 境界'曲線'の Hausdorff次元  $h=2$  !!

# 複雑な自己相似性





# 複雑な自己相似性



# 相転移(臨界現象) / 多体系の協同現象

## Phase Transition (Critical Phenomena) / Collective Effect of Many-body System

### 物理現象の例

- 固体  $\leftrightarrow$  液体  $\leftrightarrow$  気体 の相変化
- 自発磁化：強磁性体金属は極低温で磁石になる。
- 超伝導：極低温で電気伝導度がゼロになる。
- 中性子星の形成：ボーズ・アインシュタイン凝縮
- 膨張宇宙の進化：  
場の理論における真空の相転移による相互作用の進化

....

生物現象：反応、形態形成、進化、地球環境変化...

社会現象：パニック、群集心理、経済恐慌、...

にも適用可能？



空間にスピンの配列し、隣のスピンとだけ相互作用する。

Ising Model

{ 上向き ↑ ■  
下向き ↓ ■

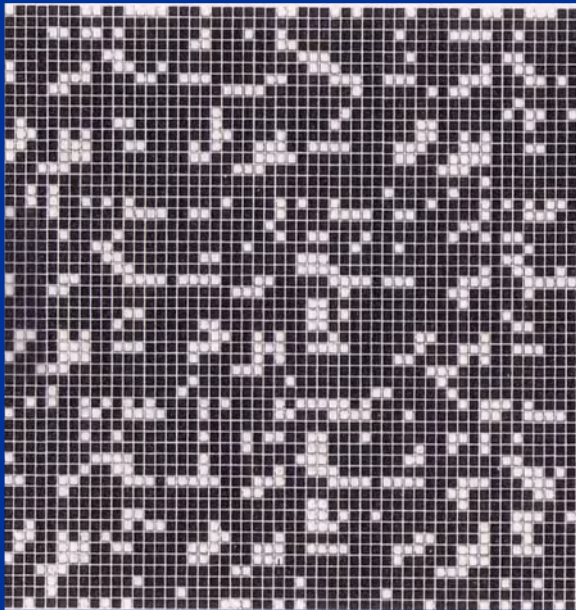
並んだ2つのスピンは揃う方がエネルギーが低い。

スピンの向きは温度によって揺らぐ。

巨視的様相はどうか？

$T < T_c$  (磁化)

低温 : スピンの向きが揃う。



一様(周期的)

$T = T_c$

相転移点(臨界温度)



様々なスケールが共存(非周期的)  
スケーリング則 : 自己相似的

$T > T_c$

高温 : スピンの向きはバラバラ



ランダム

# Isingモデル(統計力学)

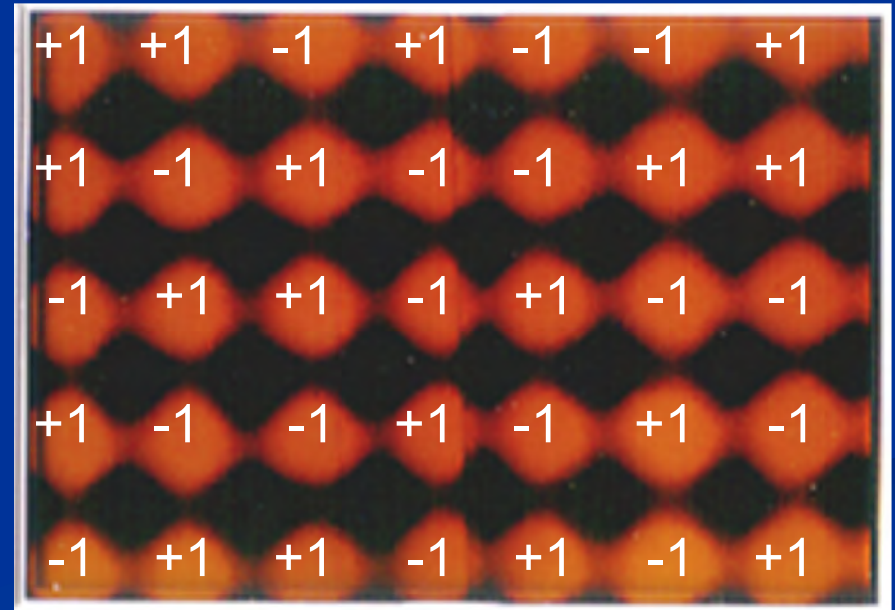
- スピン変数 :  $\sigma = +1$  (  $\uparrow$  ),  $-1$  (  $\downarrow$  )
- ハミルトニアン/エネルギー :  $E = -\sum_{\langle ij \rangle} J \sigma_i \sigma_j$  ,  $J > 0$  強磁性体  
最近接相互作用  
(隣のスピンのみとだけ相互作用する。)
- 温度  $T$  で, ある配位が出現する確率 :  $\propto \exp(-E/kT)$  (カノニカル分布)

磁化:  $M = \sum \langle \sigma \rangle / N$  平均値

$$\langle \sigma \rangle = \frac{\sum \sigma \exp(-E/kT)}{\sum \exp(-E/kT)}$$

## ◆ モンテカルロ シミュレーション

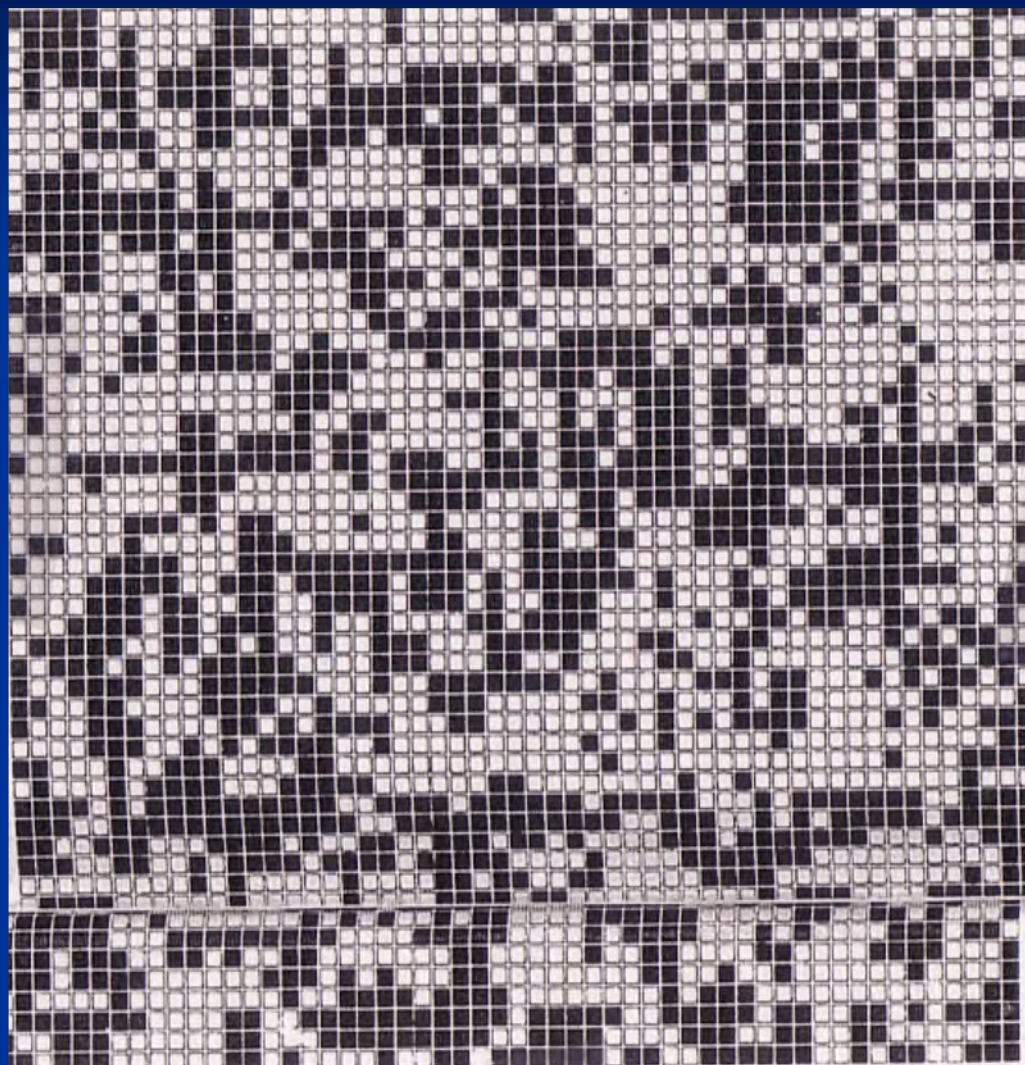
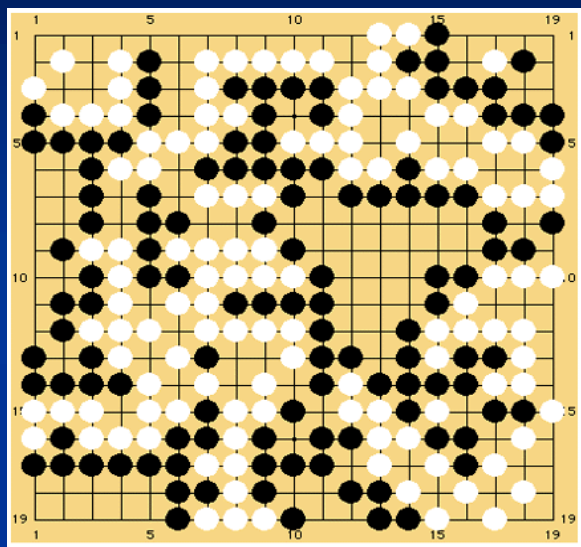
温度  $T$  を与えて、カノニカル分布に従うたくさんの配位のセット(アンサンブル)を作り、 $\sigma$  の期待値を計算する。



1つの配位

# [動力学的に似たシステム]

囲碁は相転移点上の様相を示す



囲碁

スピンモデル

- 白黒順番に打つ ⇔ 熱的ゆらぎ
- 陣地取りゲーム ⇔ 磁化領域の拡大
- 熟練者同士の好ゲームの終局図  
⇔ 相転移点の様相

複雑：スケールリング則（自己相似/フラクタル） ↔ 相転移

# パターン形成 (Pattern Formation)

## 現象

- 形体形成
- 群形成
- 自己複製・自己増殖
- 自己組織化 (Self Organization)
- 群知能 (Group Intelligence)

## 現実の現象例:

- ベルソウ・ジャボチンスキー反応
- バクテリアコロニー, 魚群
- 生物
- 粉粒体
- スウォーム (社会昆虫集団): 蟻, 蜂



## 数理モデル

- セルオートマトン (Cellular Automaton) 離散系
  - ・ 1次元CA: (Wolfram)
  - ・ 2次元CA: Life Game (Conway)
- 散逸系の微分方程式系 (非平衡系の相転移現象) 非保存系

# 1次元セル・オートマトン (Cellular Automaton)

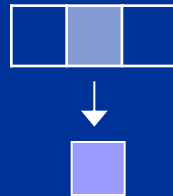
各セルに白  または黒  (2状態)、が並んだ1次元配列がある。



ある局所的ルール(微視的相互作用)により、  
時間ステップごとに配列は変化する。

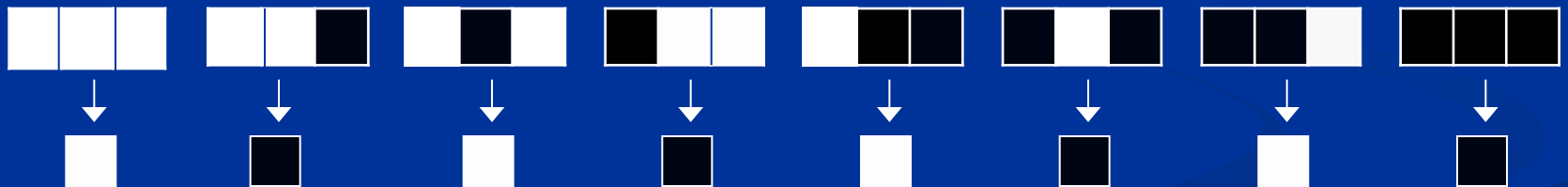


■ 2状態3近傍 CA :



ルール: 3つ並んだセルの状態から  
真ん中にあるセルの次のステップの  
状態を決める。

遷移ルールの例



すべてのルールの数 =  $2^3 = 256$  通り → 256通りのCAモデル(Wolfram)



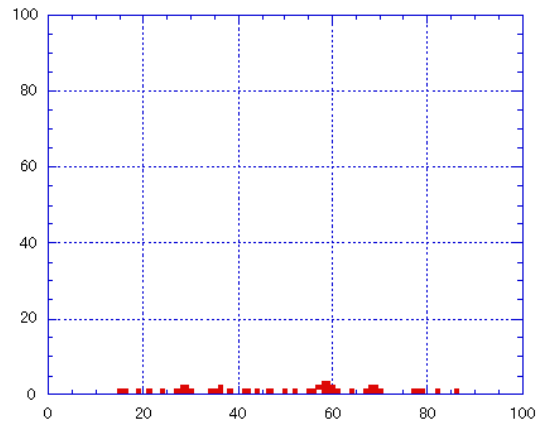
# CAモデルの振る舞いによる分類

(膨大な種類のCAモデルを4つのクラスに分ける。by Langton)

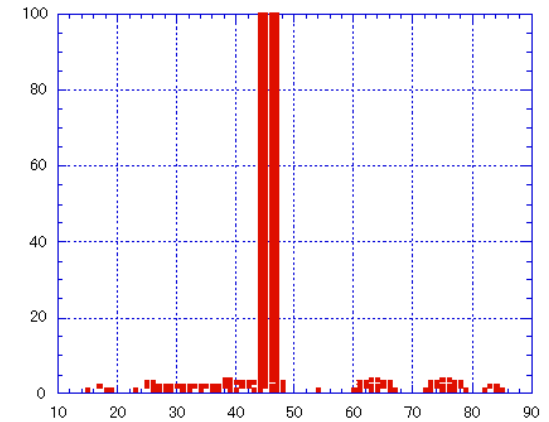
- **2状態** ■ ■ **3近傍**のCAモデル :  $2^3 = 256$  通り
  - クラス1 : 定常(安定/消滅)
  - クラス2 : 周期的
  - クラス3 : カオス的
- **4状態** ■ ■ ■ ■ **5近傍**のCAモデル :  $4^5 = 1099511627776$  通り
  - クラス4 : “**複雑**” な振る舞い(Edge of Chaos) の出現

# 1次元CAの分類

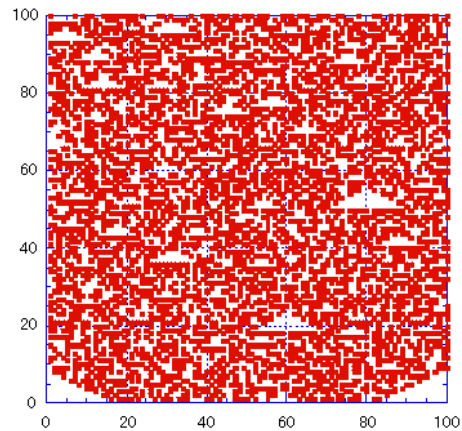
Class-1 : 定常(消滅)



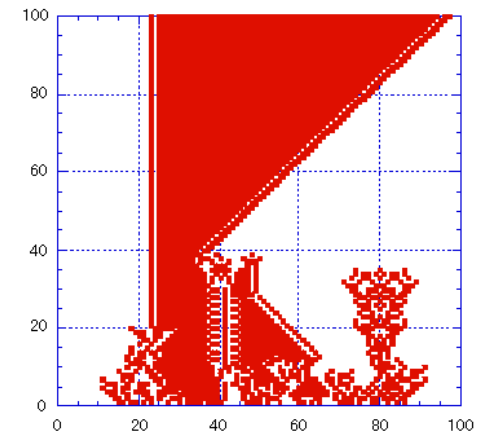
Class-2 : 周期的



Class-3 : カオス (スケーリング)



Class-4 : “複雑”



時間発展

配列

# CAの振る舞いの例

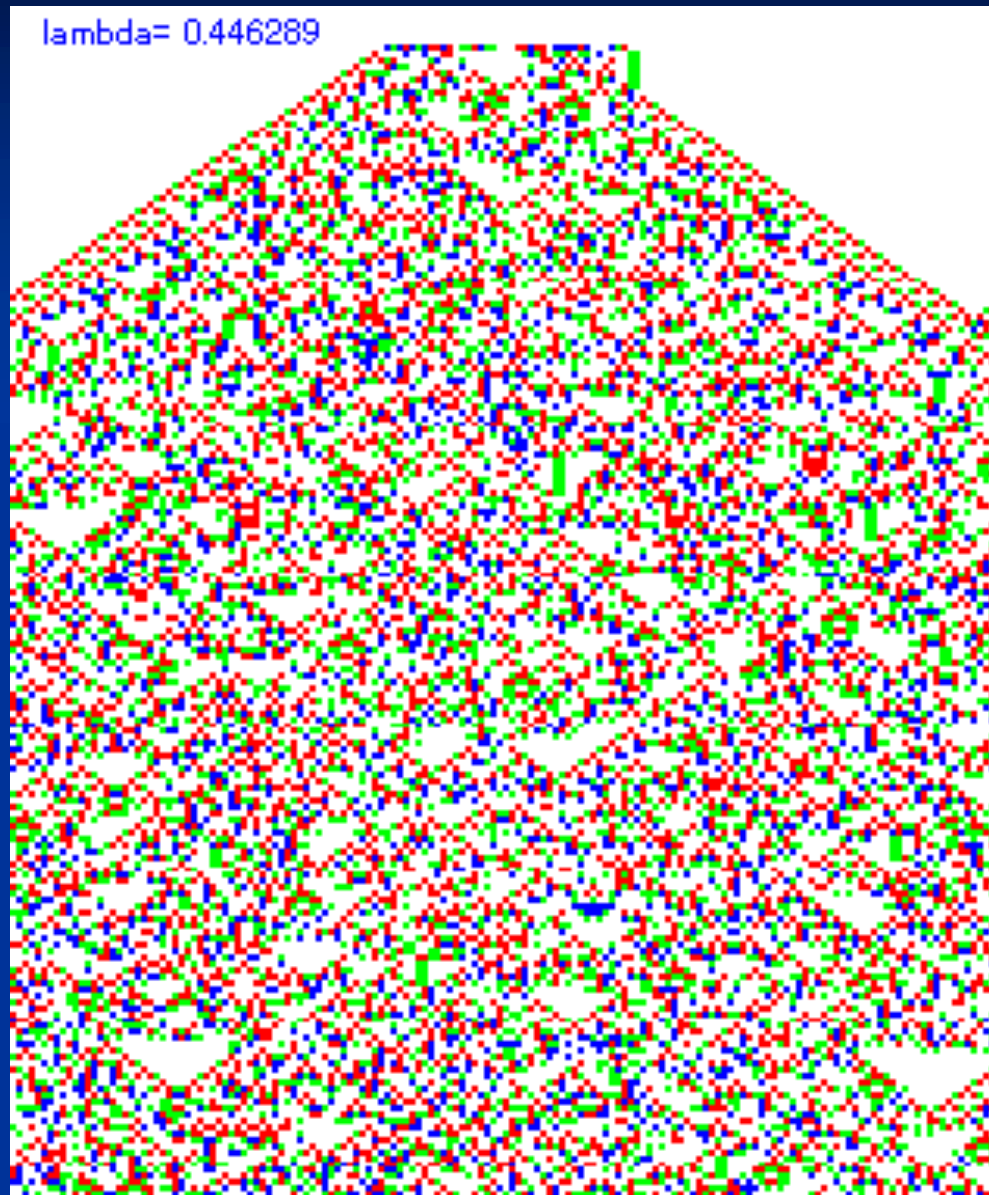
4状態 ■ ■ ■ ■ 5近傍のCA

クラス 1 : すぐに真っ白になる.

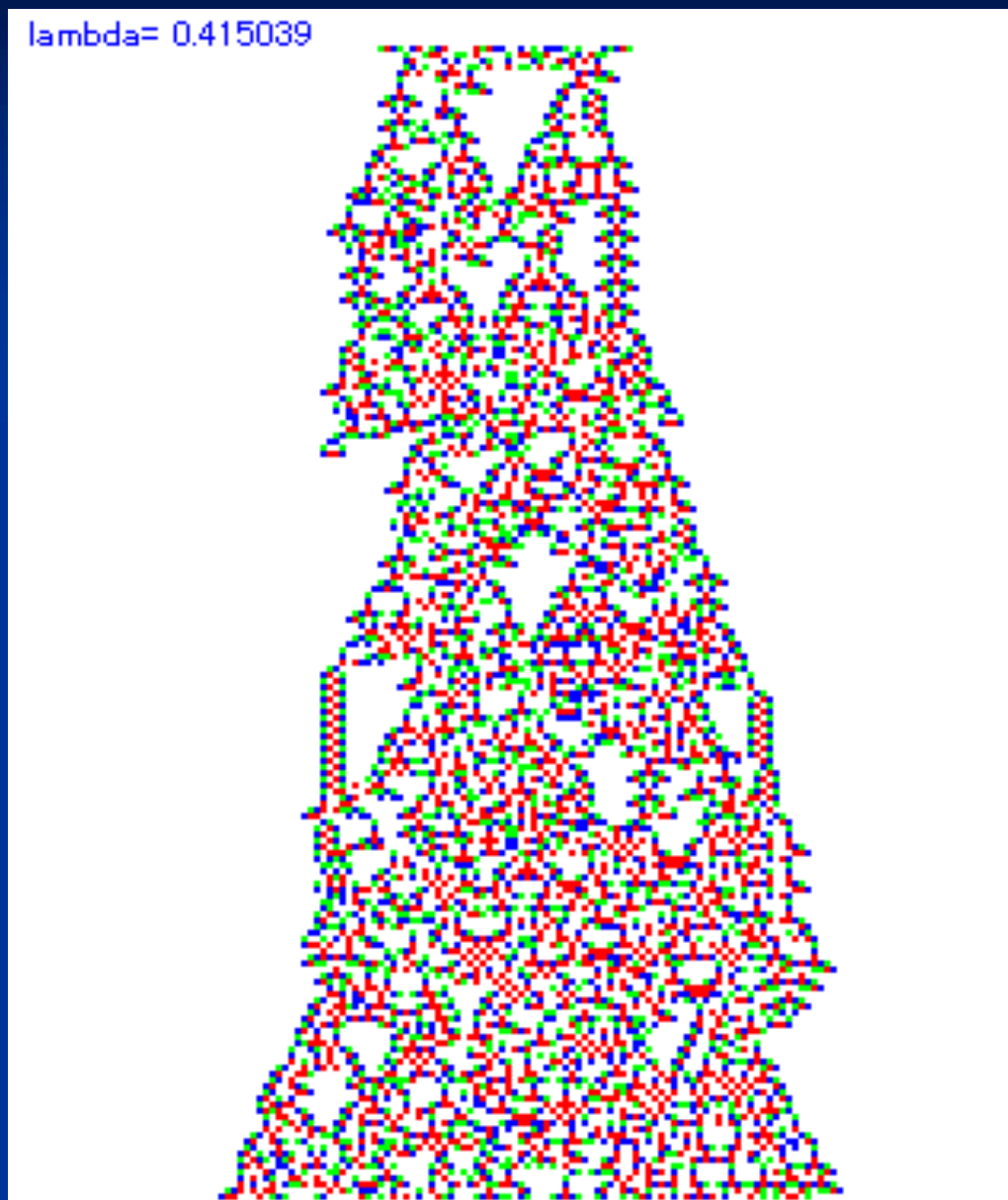
クラス 2 : しばらくして周期的になる.



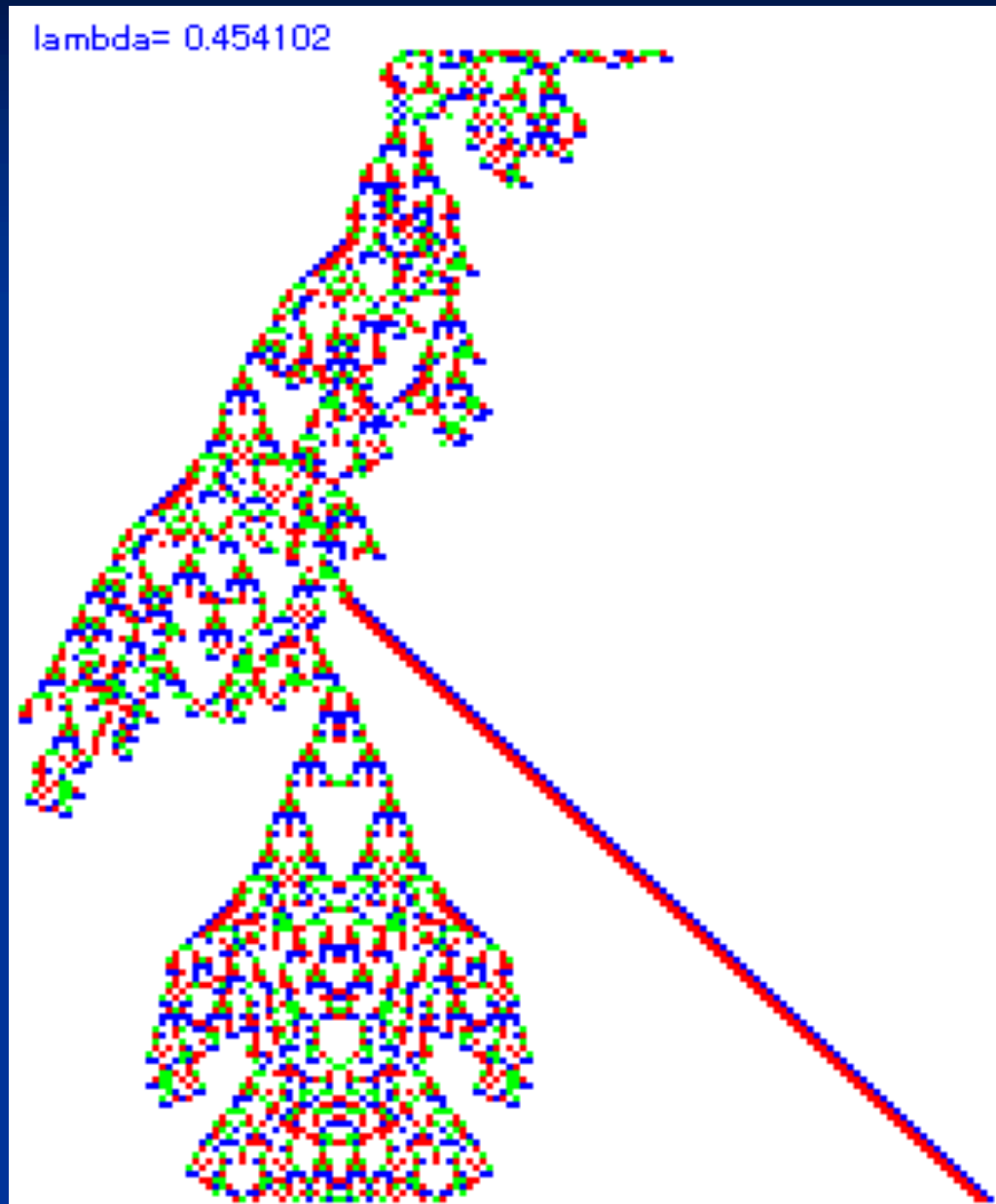
### クラス 3 : カオス的な振る舞い



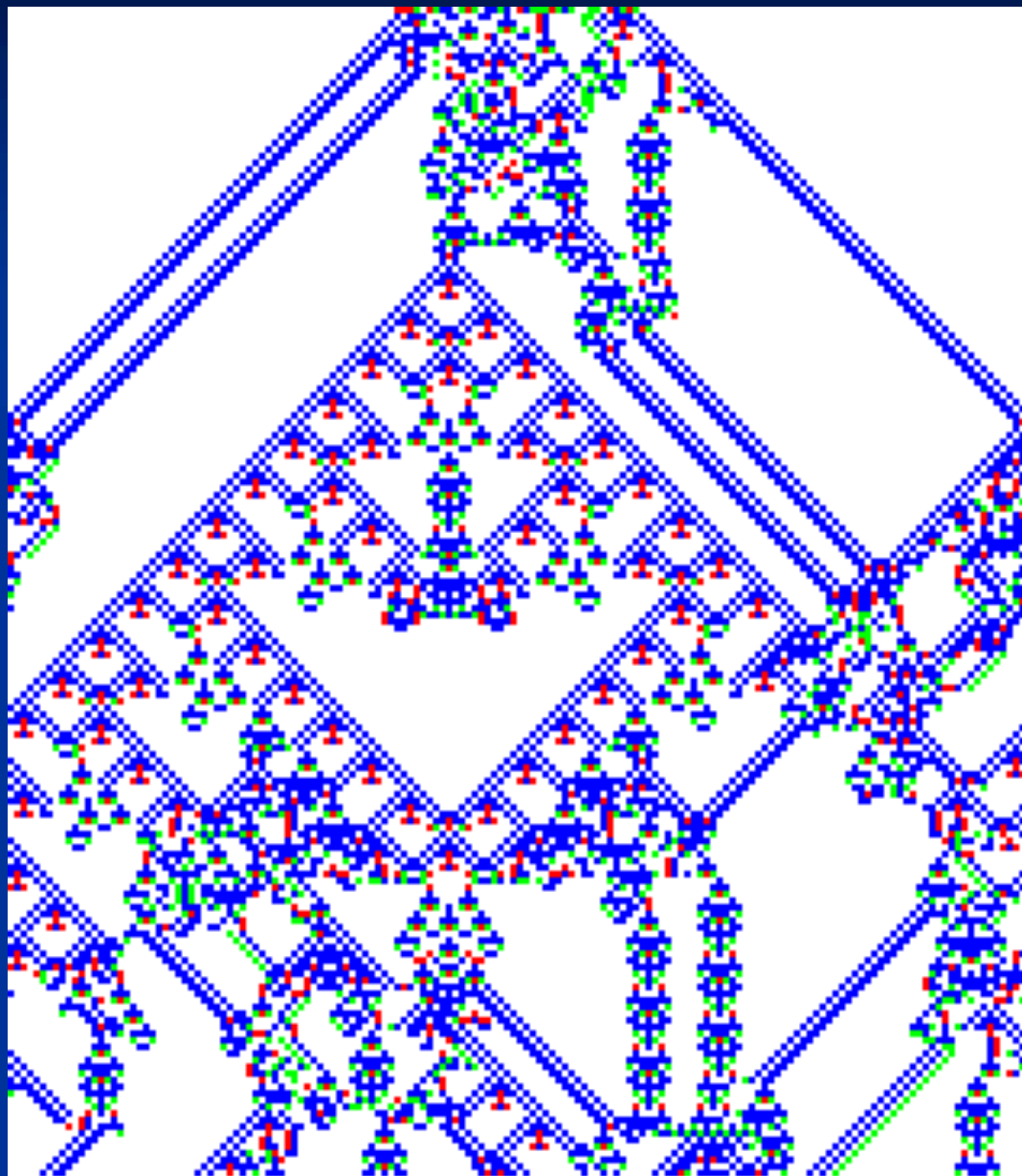
# クラス 4 : “ 複雑 ” な振る舞い



# クラス 4 : “ 複雑 ” な振る舞い



# クラス 4 : “ 複雑 ” な振る舞い



# 遷移規則によるクラスの出現比率

型(状態数/近傍数)	配列型(2/3)	合計型(2/3)	合計型(2/5)	合計型(2/7)	合計型(3/3)
クラス1	0.09	0.26	0.19	0.13	0.09
クラス2	0.75	0.37	0.19	0.14	0.34
クラス3	0.16	0.37	0.50	0.64	0.48
クラス4	0.00	0.00	0.12	0.09	0.09

- クラス4の様相の出現比率は、0.1程度で、少ない。
- クラス3の様相の出現比率が、最も大きい。
- 様相のクラスは初期状態には依らない。



# Life Game (J.H. Conway 1970) : 2次元CA



各セルは、■(生)か●(死)の2状態。

## 推移規則

- [生存]
- [死滅]
- [生成]
- 

8-近傍セルの■の個数

- 2、3個
- 1個以下か4個以上
- 3個
- 3個以外

元状態 推移後

- → ■
- → ●
- → ■
- → ●

周囲に存在するセル(細胞)が、ある程度の数だけ存在すれば生存を続け、過密・過疎なら死滅し、最適な数のとき誕生する。  
[生物繁殖の妥当なルール]

例1)



(死滅) 定常

1-3セル.dat

4セル.dat

例2)



(安定) 定常

5セル.dat

初期状態が単純でも大きく発展する。

例3)

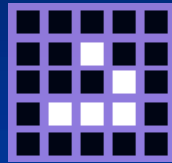


周期的

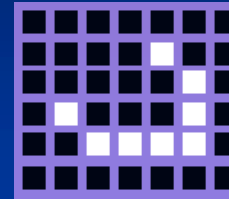
# 重要なパターンの発見

## ■ 移動するパターン（何周期かで形が元に戻り位置を変える。）

・ グライダー :



・ 宇宙船 ...



## ■ 生存セルを際限なく増殖していくパターン

・ グライダー砲 : 周期的にグリダースを生成する。

● チューリング機械（「論理」で可能な事はすべて実現できる万能計算機）  
をシミュレートできる可能性を与える !!（グリダースを単位パルスとして使う）

← e.g. “自己複製”のしくみが「論理」的ならば

● 自己複製機械（オートマトン）を実現できる。

（生物に特徴的な性質を機械で創造する。 von. Neumann）

# チューリング機械 (Turing Machine)

テープ

構造:



ヘッド

制御部

ヘッドの位置にあるマスの記号を書き変える。

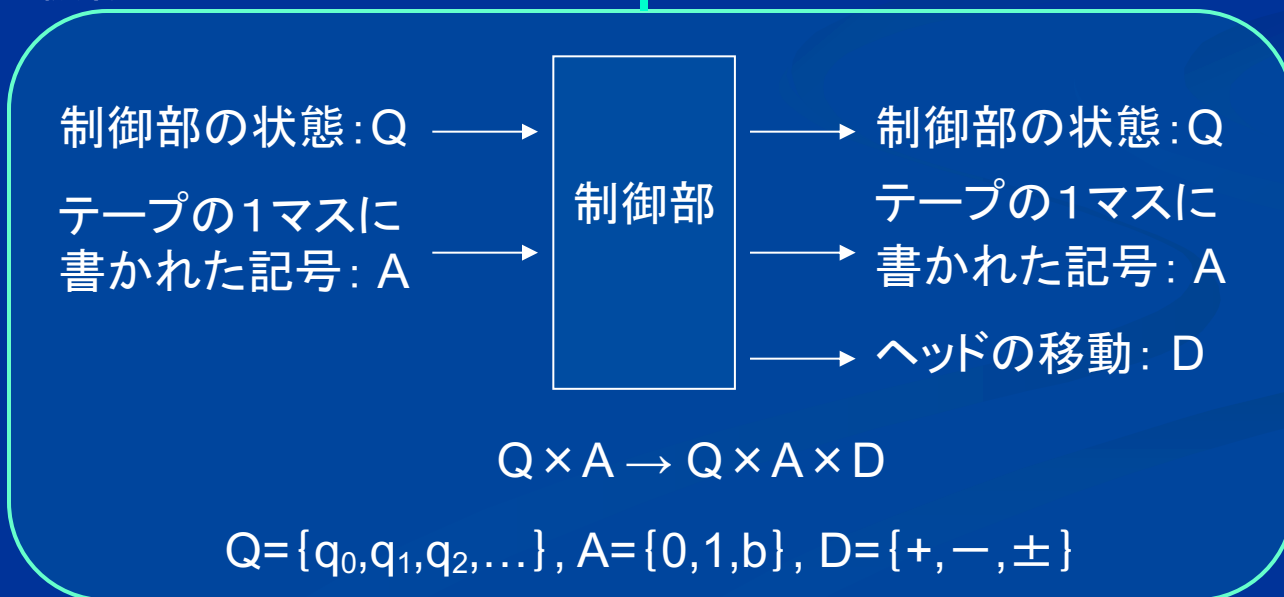
論理  
計算

入力: 01011011100...  
(0と1の並び)



出力: 10010110101...  
(0と1の並び)'

チューリング機械  
の機能:



制御部の状態:  $Q$

テープの1マスに  
書かれた記号:  $A$

制御部

制御部の状態:  $Q$

テープの1マスに  
書かれた記号:  $A$

ヘッドの移動:  $D$

$Q \times A \rightarrow Q \times A \times D$

$Q = \{q_0, q_1, q_2, \dots\}$ ,  $A = \{0, 1, b\}$ ,  $D = \{+, -, \pm\}$

# チューリングマシン(TM)の本体:制御部

= 関数(mapping)  $f$  のセット  $f : Q \times A \rightarrow Q \times A \times D$ ,

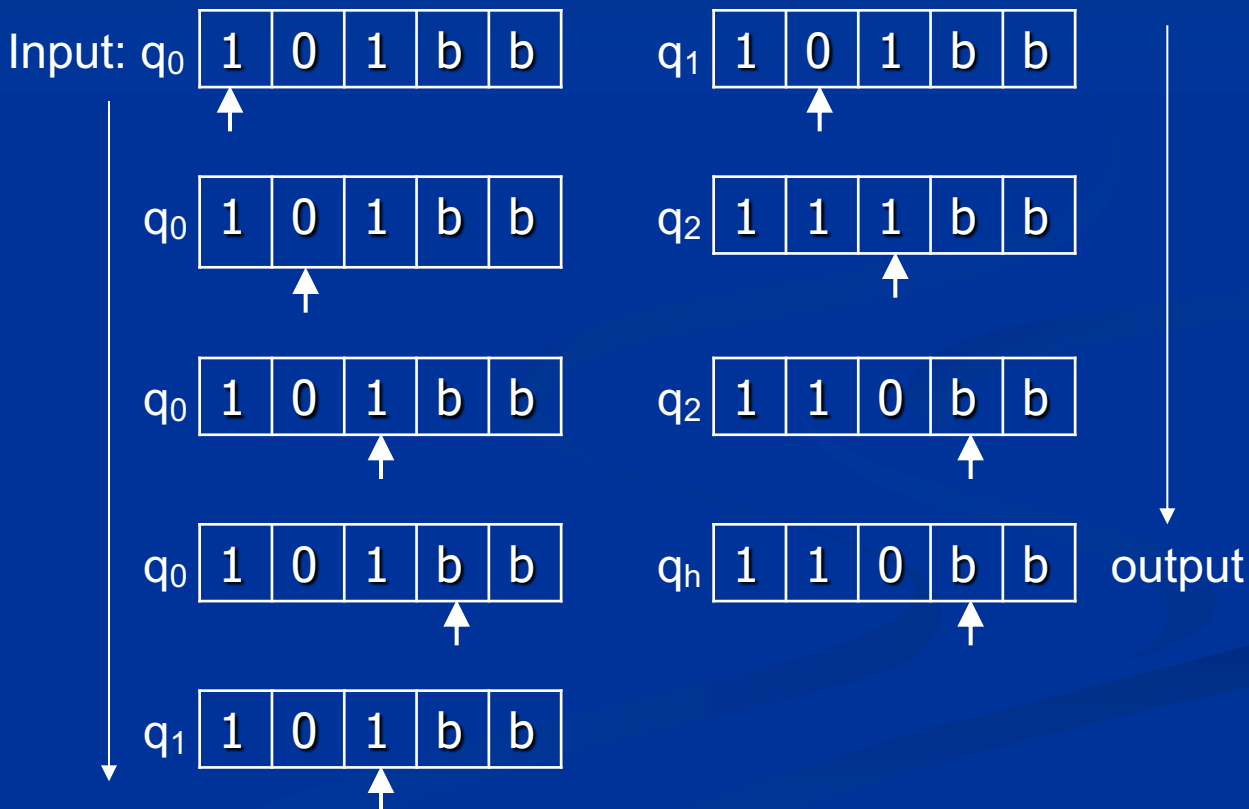
where  $Q = \{q_0, q_1, q_2, \dots\}$ ,  $A = \{0, 1, b\}$ ,  $D = \{+, -, \pm\}$

$q_h$ : 停止状態      空      右, 左, 止

例) +1 の計算をするTM

$f(q_0, 0) = (q_0, 0, +)$   
 $f(q_0, 1) = (q_0, 1, +)$   
 $f(q_0, b) = (q_1, b, -)$   
 $f(q_1, 1) = (q_1, 1, -)$   
 $f(q_1, 0) = (q_2, 1, +)$   
 $f(q_2, 1) = (q_2, 0, +)$   
 $f(q_2, b) = (q_h, b, \pm)$

e.g.  $101+1=110$



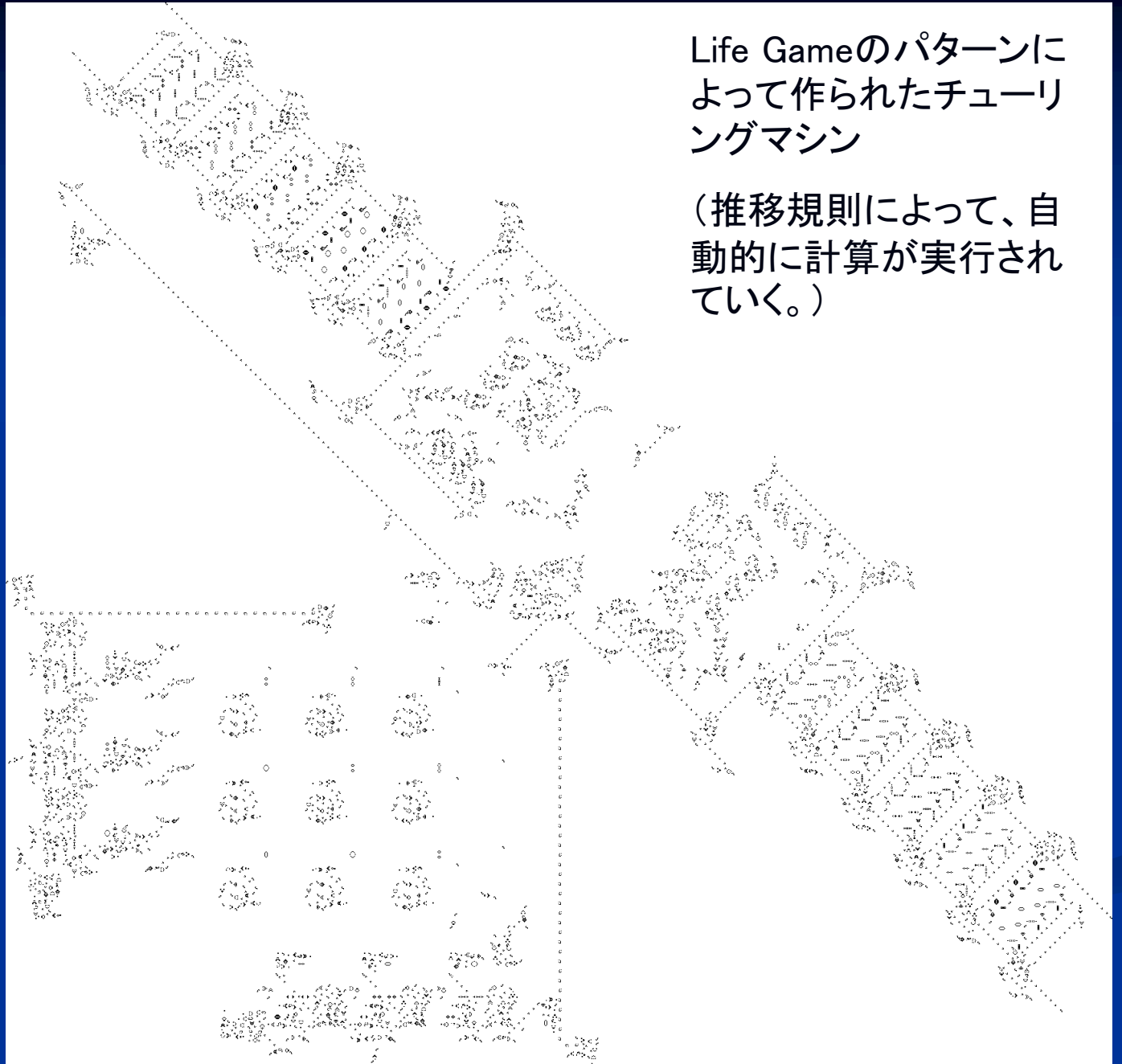
Turing  
Machine  
simulated by  
Life Game



チューリング機械  
は世界のすべてを  
実現できる。



Life Game(セルオ  
ートマトン)の局所  
的ルールが世界を  
創造している!!



Life Gameのパターンに  
よって作られたチューリ  
ングマシン

(推移規則によって、自  
動的に計算が実行され  
ていく。)

# 散逸系の微分方程式系 (非保存系・非平衡系の相転移現象)

例) **Optimal Velocity Model** (1994): 最適速度模型

$$\frac{d^2}{dt^2}x_n(t) = a \left\{ V(\Delta x_n(t)) - \frac{d}{dt}x_n(t) \right\} : n=1, 2, 3, \dots$$

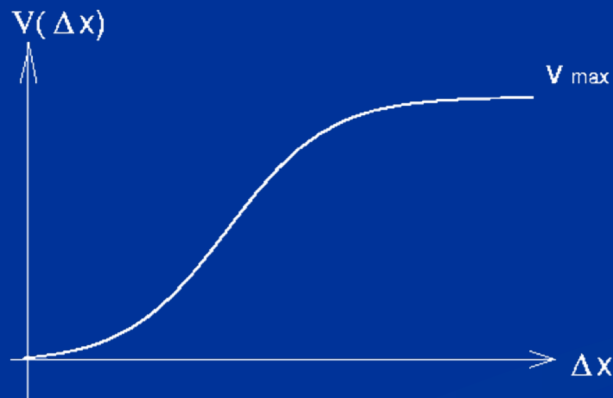
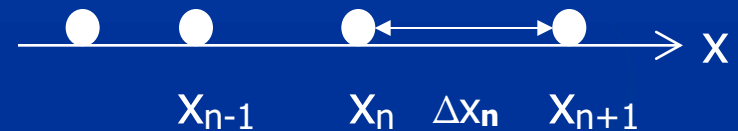
$x_n$ : the position of the  $n$ th **particle**

$\Delta x_n$ : the headway (distance)

$a$ : sensitivity constant

$V(\Delta x)$ : **OV-function** ( $\rightarrow$  the **optimal velocity for headway**)

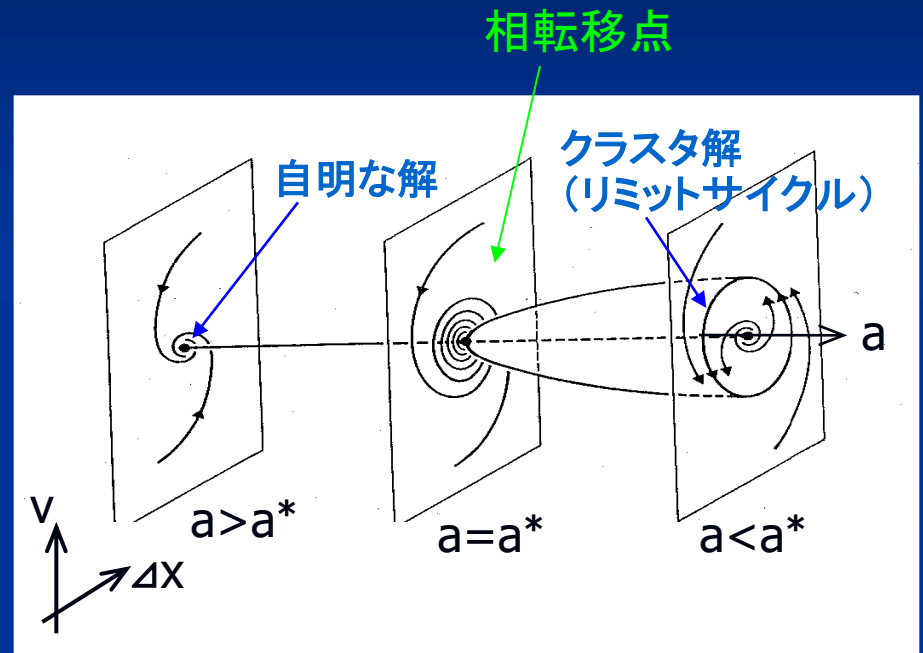
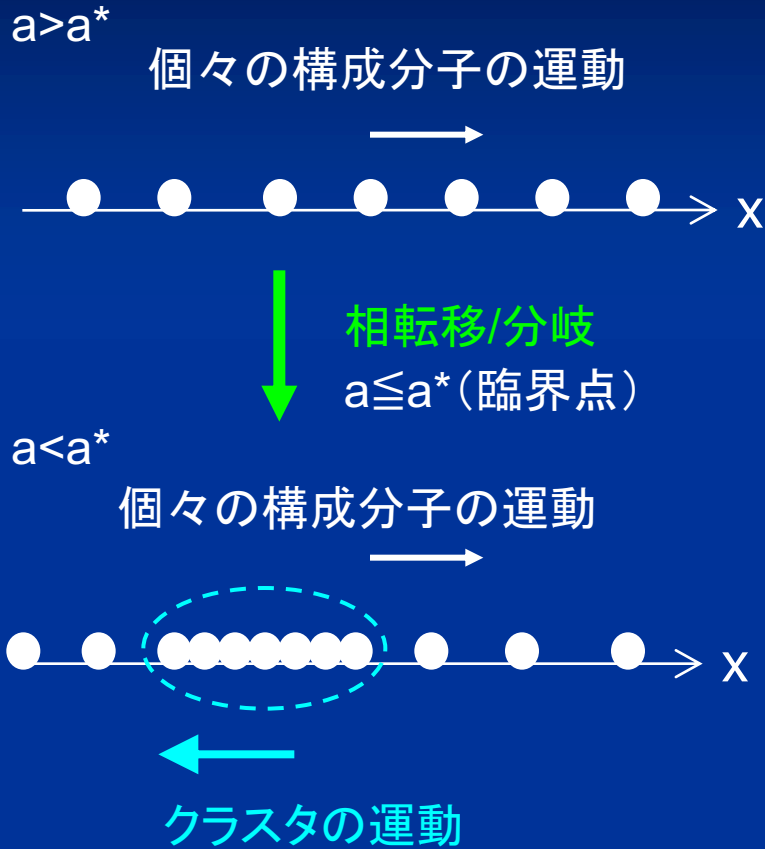
e.g.  $V(\Delta x) = \tanh(\Delta x - c) + \text{const.}$



最適関数  $V(\Delta x)$  に緩和しようと  
変化する構成分子の集団運動を  
記述する。

# 散逸系クラスタ形成 (非平衡相転移現象)

## Cluster Formation in Dissipative System



- ・ 自発的パターン形成
- ・ “ホメオダイナミクス”

構成分子の非平衡な動的状態における形体形成：  
固有の時間 $\tau$ で常に構成分子が入れ替わる流れにより、  
巨視的クラスタが安定に形成され、固有の運動をする。

# マクロの様相の種類と現象例

様々な世界	定常(消滅): convergence	周期的: periodic	“複雑”: complex	カオス / ランダム(乱雑): chaos / random
CA	クラス1	クラス2	クラス4	クラス3
数	有理数		無理数(超越数/代数的数)	
無限	離散(デジタル)		連続(アナログ)	
計算/論理(情報)	アルゴリズムの存在		決定不能問題	無意味な言語配列
力学	1体(自由運動)	2体		3体
力学系	秩序			カオス 無秩序
微分方程式系	可積分	可積分ソリトン		積分不可能
多体系物理	平衡系		相転移	非平衡系/散逸系
自然	物質(死)		自己組織化/形態形成	
生態系/生物集団			生命: 代謝 自己複製 進化	
社会	孤立社会		群知能 経済現象 情報社会	